

ESCUELA POLITÉCNICA NACIONAL

**FACULTAD DE INGENIERÍA EN GEOLOGÍA Y
PETRÓLEOS**

**INTEGRACIÓN DIGITAL DEL MODELO DE CHOKE DE
UN CAMPO DE LA REGIÓN AMAZÓNICA DEL
ECUADOR**

**PROYECTO PREVIO A LA OBTENCIÓN DEL TÍTULO DE INGENIERA EN
PETRÓLEOS**

OPCIÓN: ARTÍCULO ACADÉMICO

LESLY MICHELLE RIVERA SILVA

lesly.rivera@epn.edu.ec

DIRECTOR: MSc. VINICIO RENÉ MELO GORDILLO

vinicio.melo@epn.edu.ec

Quito, febrero 2022

DECLARACIÓN

Yo, Lesly Michelle Rivera Silva, declaro bajo juramento que el trabajo aquí descrito es de mi autoría; que no ha sido previamente presentado para ningún grado o calificación profesional; y, que he consultado las referencias bibliográficas que se incluyen en este documento.

A través de la presente declaración cedo mis derechos de propiedad intelectual correspondiente a este trabajo, a la Escuela Politécnica Nacional, según lo establecido por la Ley de Propiedad Intelectual, por su Reglamento y por la normativa institucional vigente.

Lesly Michelle Rivera Silva

CERTIFICACIÓN

Certifico que el presente trabajo fue desarrollado por Lesly Michelle Rivera Silva, bajo mi supervisión.

MSc. Vinicio René Melo Gordillo
Director del Trabajo de Titulación

AGRADECIMIENTOS

A mis padres Edwin y Doris por haber sido un pilar fundamental en mi vida, por todos los valores inculcados, el amor y paciencia que me han sabido brindar, los consejos y motivación que siempre me dieron durante toda mi vida estudiantil, agradezco a Dios por tenerlos en mi vida, de ustedes he aprendido a no rendirme nunca y que los sueños se hacen realidad si uno trabaja con ahínco y pasión.

A mi hermano Andrés, quien me ha escuchado y ha estado conmigo en todo momento.

A mis abuelitos Jorge y Esther por ser mis segundos padres, todo el esfuerzo y los frutos que voy cosechando se los dedico, son unas personas ejemplares de quienes he aprendido y ahora soy quien soy, el amor que me han brindado me ha ayudado para no decaer nunca y seguir con pie firme en todas las metas que me he propuesto.

A Luis quien ha sido mi apoyo durante toda mi instancia en la Universidad, agradezco por los consejos y palabras motivadoras que me supo dar, por la dedicación y determinación que pusimos en aprender siempre nuevas cosas que nos servirán para nuestra vida profesional.

A mi director de tesis, MSc. Vinicio Melo por compartir sus conocimientos y apoyarme durante este último peldaño para alcanzar mi meta más anhelada.

A mi mentora por parte de la empresa Schlumberger, Ing. Estefi Batallas quién ha sido un soporte fundamental para la realización de mi trabajo de titulación, agradezco por la paciencia y calidad humana que ha demostrado durante este proceso.

A la empresa Schlumberger por permitirme realizar este trabajo de titulación y a sus ingenieras quienes lo hicieron posible Annalyn Azancot y Angélica Vargas.

A la Facultad de Ingeniería en Geología y Petróleos por permitirme desempeñar un cargo fundamental de liderazgo al ser parte del Capítulo SPE-EPN y a mis maestros quienes me han preparado para la vida profesional brindándome todos sus conocimientos, agradezco todas las palabras de motivación que permitieron que me envuelva más la pasión por mi carrera.

DEDICATORIA

Se lo dedico a Dios por haberme regalado la vida y la salud, me ha permitido soñar y luchar por todos los objetivos que me he trazado, he podido vivir y disfrutar de las maravillas de la vida rodeada de personas a quienes amo y por quién me esfuerzo cada día por ser mejor.

A mis padres y hermano por guiarme y nunca dejarme sola, han festejado conmigo mis victorias y en las debilidades que se me han presentado han estado ahí para nunca dejarme vencer, me han recordado que si uno sueña en grande puede lograr todo en esta vida y que nunca se debe dar por vencido, que de las caídas se aprende y con más fuerza se levanta para no cometer el mismo error.

A toda mi familia, tíos y primos quienes me han sabido apoyar durante mi vida estudiantil, cada concejo que me han brindado ha sido fundamental para crecer y ser la persona que soy.

CONTENIDO

| | |
|--|-----|
| DECLARACIÓN..... | I |
| CERTIFICACIÓN..... | II |
| AGRADECIMIENTOS..... | III |
| DEDICATORIA | IV |
| CONTENIDO..... | V |
| LISTA DE FIGURAS | VII |
| LISTA DE TABLAS..... | IX |
| RESUMEN..... | X |
| ABSTRACT | XI |
| 1. INTRODUCCIÓN..... | 1 |
| 1.1 Objetivos | 2 |
| 1.1.1 Objetivo General..... | 2 |
| 1.1.2 Objetivos Específicos..... | 2 |
| 1.1.3 Alcance..... | 2 |
| 2. MATERIALES | 3 |
| 2.1 Generalidades..... | 3 |
| 2.1.1 Modelo de Choke | 3 |
| 2.1.2 Elementos de una Completación Sencilla de Pozo | 5 |
| 2.1.3 Levantamiento Artificial por Bombeo Electrosumergible..... | 9 |
| 2.1.4 Permeabilidades Relativas..... | 10 |
| 2.2 Software y Elementos de Programación..... | 11 |
| 2.2.1 Software PIPESIM..... | 11 |
| 2.2.2 Programación | 12 |
| 2.2.3 Interfaz Enthought Canopy | 13 |
| 2.2.4 Lenguaje de Programación Python | 13 |
| 2.2.5 Librerías de Python | 14 |
| 2.2.6 PythonToolkit (PTK)..... | 15 |
| 2.3 Diagrama de Flujo para Algoritmos / Programación | 15 |
| 3. METODOLOGÍA..... | 16 |
| 3.1 Desarrollo del Modelo de Pozo Base en PIPESIM. | 17 |
| 3.2 Calibración del Daño de Pozo..... | 24 |
| 3.3 Generación del Modelo de Pozo..... | 28 |
| 3.4 Calibración de la Bomba BES..... | 35 |

| | | |
|-------|---|----|
| 3.5 | Obtención de Presiones y Caudales para cada Punto del Modelo de Choke.... | 38 |
| 3.5.1 | Caso Base, punto A | 40 |
| 3.5.2 | Caso I, punto C | 41 |
| 3.5.3 | Caso II, punto D | 41 |
| 3.6 | Elaboración de Diagramas de Choke en Power BI..... | 42 |
| 4. | RESULTADOS Y DISCUSIÓN..... | 44 |
| 5. | CONCLUSIONES Y RECOMENDACIONES..... | 52 |
| 6. | REFERENCIAS BIBLIOGRÁFICAS | 54 |

LISTA DE FIGURAS

| | |
|---|----|
| Figura 1. Concepto de modelo de estrangulador genérico..... | 3 |
| Figura 2. Puntos para la elaboración del modelo de choke..... | 4 |
| Figura 3. Modelo de choke..... | 4 |
| Figura 4. Completación sencilla, el primero con tubing y el segundo con liner..... | 5 |
| Figura 5. Casing. | 5 |
| Figura 6. Tuberías de revestimiento en pozos Onshore. | 6 |
| Figura 7. Casing conductor. | 6 |
| Figura 8. Casing superficial. | 7 |
| Figura 9. Casing intermedio..... | 7 |
| Figura 10. Casing de producción. | 8 |
| Figura 11. Liner..... | 8 |
| Figura 12. Tubing. | 9 |
| Figura 13. Esquema del sistema de bombeo Electrosumergible. | 10 |
| Figura 14. Interfaz de PIPESIM 2019.1 | 12 |
| Figura 15. Diagrama de flujo de la metodología aplicada para generar el modelo de choke..... | 16 |
| Figura 16. Diagrama de flujo Res_builder para elaborar el modelo de pozo base en PIPESIM. | 17 |
| Figura 17. Librerías de Python y Python Toolkit..... | 20 |
| Figura 18. Corrida del Código para crear los archivos en PIPESIM (.pips)..... | 20 |
| Figura 19. Archivos PIPESIM (.pips) generados a partir de la corrida del código. | 21 |
| Figura 20. Creación del modelo de pozo en PIPESIM. | 22 |
| Figura 21. Generación de la curva IPR con & sin datos de Kr..... | 23 |
| Figura 22. Diagrama de flujo para el código Skin Calibration. | 24 |
| Figura 23. Librerías, módulos y funciones importadas al código..... | 25 |
| Figura 24. Daño calibrado, valores generados en Canopy. | 26 |
| Figura 25. Daño simulado y calibrado en PIPESIM. | 27 |
| Figura 26. Diagrama de flujo para crear el modelo final de pozo con bomba BES mediante el código Model_builder. | 28 |
| Figura 27. Librerías, módulos y funciones importadas de Pandas y Python Toolkit. ... | 29 |
| Figura 28. Datos de Survey cargados en PIPESIM a partir de la ejecución del código. | 30 |
| Figura 29. Componentes de Black Oil Fluid cargados en PIPESIM a partir de la corrida del código. | 31 |
| Figura 30. Casing generado en PIPESIM a partir de la corrida del código..... | 31 |
| Figura 31. Liner generado en PIPESIM a partir de la corrida del código. | 32 |
| Figura 32. Tubing generado en PIPESIM a partir de la corrida del código..... | 33 |
| Figura 33. Equipo BES cargado en PIPESIM a partir de la corrida del código. | 34 |
| Figura 34. Carga de los datos de reservorio en PIPESIM a partir de la corrida del código..... | 34 |
| Figura 35. Carga de los datos para la creación de la curva IPR por el método de Darcy en PIPESIM a partir de la corrida del código. | 35 |
| Figura 36. Diagrama de flujo para el desarrollo del código Calibration. | 36 |
| Figura 37. Librerías, módulos y funciones importadas de Python Toolkit, Pandas y Numpy..... | 36 |

| | |
|---|----|
| Figura 38. Tiempo y factor de cabeza de la bomba con la simulación del perfil de Presión/Temperatura. | 37 |
| Figura 39. Archivo PIPESIM con Bomba BES calibrada a partir de la corrida del código. | 38 |
| Figura 40. Diagrama de flujo para los puntos nodales A, C y D. | 39 |
| Figura 41. Diagrama de flujo para modelo de choke en Power BI. | 42 |
| Figura 42. Modelo de choke generado en Power BI. | 43 |
| Figura 43. Modelo de choke para la estación CRL-5. | 46 |
| Figura 44. Modelo de choke para la estación PTL. | 47 |
| Figura 45. Modelo de choke para la estación YLR. | 48 |

LISTA DE TABLAS

| | |
|--|----|
| Tabla 1. Datos de reservorio y completación generados en el archivo Res_Info. | 18 |
| Tabla 2. Datos de trayectoria generados en el archivo survey..... | 19 |
| Tabla 3. Valores de daño obtenidos a partir de la simulación con el perfil Presión/Temperatura. | 27 |
| Tabla 4. Datos de cargador Pump_Info. | 29 |
| Tabla 5. Datos del cargador Res_InfoACD. | 40 |
| Tabla 6. Valores obtenidos de los puntos nodales A, C y D con el código en Python. 44 | |
| Tabla 7. Tiempo de corrida de cada código para generar el modelo de pozo y armado del modelo de choke..... | 45 |
| Tabla 8. Valores de caudal de petróleo a partir de la oportunidad de pozo para la estación CLR-5. | 48 |
| Tabla 9. Valores de caudal de petróleo a partir de la oportunidad de pozo para la estación PTL. | 49 |
| Tabla 10. Valores de caudal de petróleo a partir de la oportunidad de pozo para la estación YLR..... | 49 |
| Tabla 11. Valores de caudal de petróleo a partir de la oportunidad de reservorio para la estación CLR-5..... | 50 |
| Tabla 12. Valores de caudal de petróleo a partir de la oportunidad de reservorio para la estación PTL. | 50 |
| Tabla 13. Valores de caudal de petróleo a partir de la oportunidad de reservorio para la estación YLR..... | 51 |

RESUMEN

Los proyectos de monitoreo continuo de la producción son cada vez más comunes y requiere del uso de modelos confiables como es el modelo de choke, que permite obtener escenarios en donde se puede identificar el potencial de producción por reservorio, pozo y facilidad. Por lo tanto, desarrollar una automatización del modelo es necesario para ahorrar tiempo y potenciar de una manera efectiva y confiable la producción del campo.

El trabajo busca realizar la integración digital en lenguaje Python, para optimizar el tiempo de los ingenieros y tener los modelos actualizados, reemplazando dentro del flujo de trabajo la carga manual de los datos en PIPESIM.

De las bases de datos existentes de cada pozo que opera en un campo de la Región Amazónica del Ecuador, se utilizó los datos del mes de agosto del año 2021. Con la información de cada pozo se procedió a realizar un cargador de datos en Excel para elaborar el modelo de choke mediante la codificación en Canopy con lenguaje Python.

Se utilizó el software PIPESIM de manera indirecta, puesto que, la codificación realizada permite generar los modelos de pozo en el software sin la necesidad de abrir la interfaz. El código está diseñado para trasladar los valores generados en PIPESIM de los nodales A, C y D a un documento Excel.

Finalmente, se construyó el modelo de choke en Power BI, donde se alcanzó un 90 % de optimización en el tiempo que se empleaba para armar el modelo. Los resultados indican las oportunidades existentes de optimización que se tiene a nivel de reservorio, pozo y facilidades del campo.

Palabras Clave: Modelo de choke, integración digital, lenguaje Python, PIPESIM.

ABSTRACT

Continuous production monitoring projects are increasingly common and require the use of reliable models such as the choke model, that allows get scenarios where the production potential by reservoir, well and facility can be identified. Therefore, developing model automation is necessary to save time and improve the field production effectively.

The present work seeks digital data integration in Python language, to optimize the engineers time and have updated models, replacing the manual loading of the data in PIPESIM within the workflow.

From the existing databases of each well that operates in a field of Amazon Region of Ecuador, only the data form August 2021 were used. With the information of each well, a data loader was generated in Excel to develop the choke model by coding in Canopy with Python language.

The PIPESIM software was used indirectly since the coding carried out allows generating the well models in PIPESIM without opening the interface. The code is designed to transfer the values generated in PIPESIM of the nodals A, C and D to an Excel file.

Finally, the choke model was built in Power BI, where 90% optimization was achieved in the time that was used to build the model. The results show the existing opportunities for optimization at the reservoir level, well and field facilities.

Key Words: Choke model, digital integration, Python language, PIPESIM.

1. INTRODUCCIÓN

A lo largo del tiempo se han desarrollado métodos para optimizar la producción de un campo junto con las oportunidades que pueden existir tanto en reservorio, pozo y facilidades. Los pozos candidatos a la implementación del modelo de choke automatizado se encuentran actualmente trabajando con un levantamiento artificial por bombeo electrosumergible (BES) y con un valor de daño.

El potencial de producción a nivel de pozo se realiza mediante una sensibilización a la presión (P_{wf}) actual, reduciendo su valor hasta una presión objetivo mediante un incremento en la frecuencia (Hz) de la bomba. Mientras que, para los pozos que poseen bombas trabajando al límite de su rango de operación, el potencial de producción se obtiene reemplazando la bomba por otra de mayor rango.

El potencial de producción a nivel de reservorio se determina mediante la simulación con un daño igual a cero, la oportunidad de optimización en la producción será determinada si el pozo no se encuentra estimulado.

Todas las sensibilidades se las realizará con la simulación del perfil de Presión/Temperatura (*P/T Profile*). Tanto los perfiles de temperatura como los de presión se generan nodo por nodo para el sistema analizado. La presión de entrada y salida siempre hace referencia a los límites del sistema (Schlumberger, 2014).

En el texto se presentará el análisis del perfil de Presión/Temperatura como un enfoque sistemático para determinar la capacidad de producción de cada pozo dentro de las facilidades de superficie. Una vez identificada y estudiada cada variable que afecta el comportamiento, solo resta decidir qué cambios mejorarán el potencial del pozo.

En ciertas ocasiones, la previsión de producción a corto y largo plazo se lo realiza de una manera simple, debido a que, el tiempo que conlleva la carga manual de datos no permite realizarlo de manera consecutiva.

Por este motivo los ingenieros de producción se han visto en la necesidad de realizar una integración digital del campo, para obtener el modelo de choke actualizado a las condiciones de cada pozo.

Para optimizar el tiempo y tener los modelos actualizados, se realiza la codificación en Python, la aplicación de algoritmos ayuda al desarrollo del modelo para realizar la predicción de la producción. Además, que es un lenguaje sencillo que fácilmente puede adaptarse a las herramientas predeterminadas de otros softwares como PIPESIM.

1.1 Objetivos

1.1.1 Objetivo General

Automatizar el modelo de choke mediante codificación en Python en un campo de la Región Amazónica del Ecuador.

1.1.2 Objetivos Específicos

- Desarrollar el modelo de choke para pozo, reservorio y facilidades en un campo de la Región Amazónica del Ecuador.
- Generar un cargador automático de todos los inputs en un campo de la Región Amazónica del Ecuador.
- Mejorar la eficiencia del tiempo de trabajo de ingeniería con la automatización del proceso.
- Identificar las oportunidades de optimización del campo.

1.1.3 Alcance

El proyecto abarca el desarrollo digital del modelo de choke para reservorio, pozo y facilidades en 18 pozos de un campo de la Región Amazónica del Ecuador.

2. MATERIALES

2.1 Generalidades

2.1.1 Modelo de Choke

El sistema de producción está conformado por el reservorio, los pozos y las instalaciones. SPE (2016) menciona que las restricciones dentro del sistema pueden estar asociadas a cualquiera de los fluidos producidos (petróleo, gas o agua) o a su vez pueden darse por una combinación entre ellos.

Para conocer la capacidad de oferta base del yacimiento, es necesario considerar los factores que pueden intervenir en la producción como son el daño de formación de pozo (*skin*), la permeabilidad de la formación productora, el espesor y las capacidades de las instalaciones (SPE, 2016). Es útil definir un modelo para un sistema de producción para comprender completamente el potencial y las limitaciones existentes.

SPE (2016) indica que el modelo de choke permite que los activos integrados se concentren en los segmentos del sistema de producción que están limitando el potencial (baja eficiencia) y que potencialmente podrían mejorarse, ya sea con un cambio en las condiciones operativas o con costos operativos adicionales; este proceso se denomina optimización de la producción y eliminación de cuellos de botella.

Los aumentos en el corte de agua, GOR, etc., tienen un impacto en las eficiencias de los sistemas del modelo. El diagrama de choke se puede utilizar para comprender el rango de potencial actual y las limitaciones asociadas del sistema integrado para asegurar un pronóstico realista a corto plazo (SPE, 2016).

Spencer y Morgan (1998) mencionan que el modelo fue introducido por primera vez por el grupo de producción en Aberdeen y considera al reservorio – pozo – facilidad – exportación como un sistema análogo a una tubería con varios estranguladores que restringen el flujo, en la Figura 1 se puede ver representado el esquema.

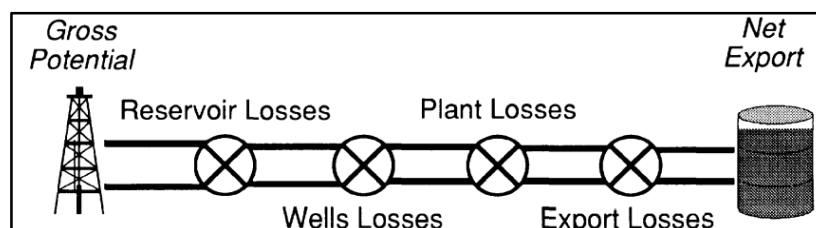


Figura 1. Concepto de modelo de estrangulador genérico
Fuente: (Palen & Goodwin, 1996)

El esquema de la Figura 2 indica los puntos que se deben obtener para generar el modelo de choke. El punto A se obtiene a partir de las condiciones iniciales del reservorio, el punto B mediante el incremento de la frecuencia a la que está operando la bomba en el pozo, el punto C es obtenido a partir de una Pwf objetivo (bajos valores de Pwf) y el punto D con la simulación de un daño cero.

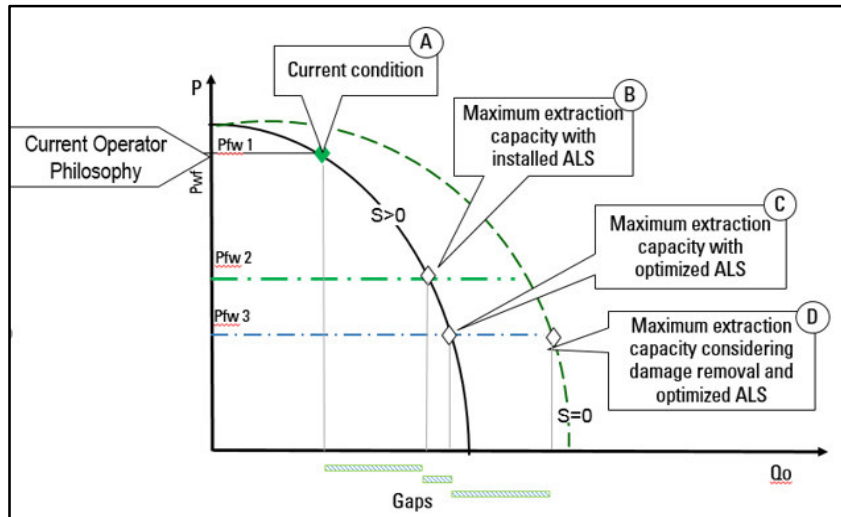


Figura 2. Puntos para la elaboración del modelo de choke.
Fuente: Estefi Batallas - Schlumberger

En la Figura 3 se observa el potencial máximo de producción que se obtiene a partir del modelo de choke a nivel de reservorio, pozo y facilidades (planta).

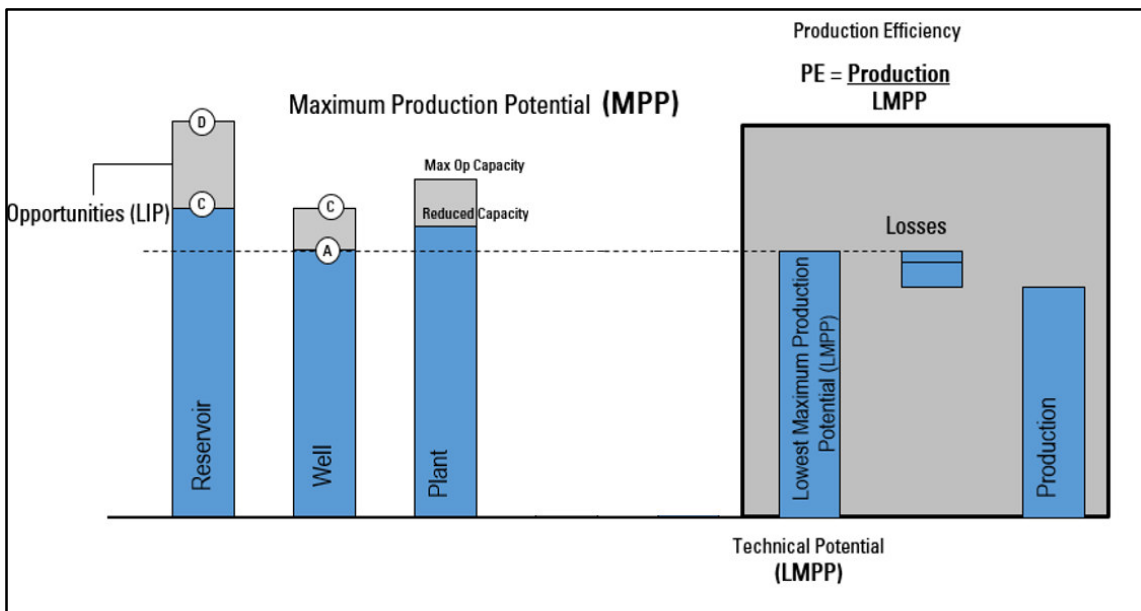


Figura 3. Modelo de choke.
Fuente: Estefi Batallas - Schlumberger

2.1.2 Elementos de una Completación Sencilla de Pozo

Completación sencilla: Ortega (2016) denomina a esta completación cuando se tiene solo una tubería de producción, para mayor entendimiento se puede visualizar en la Figura 4.

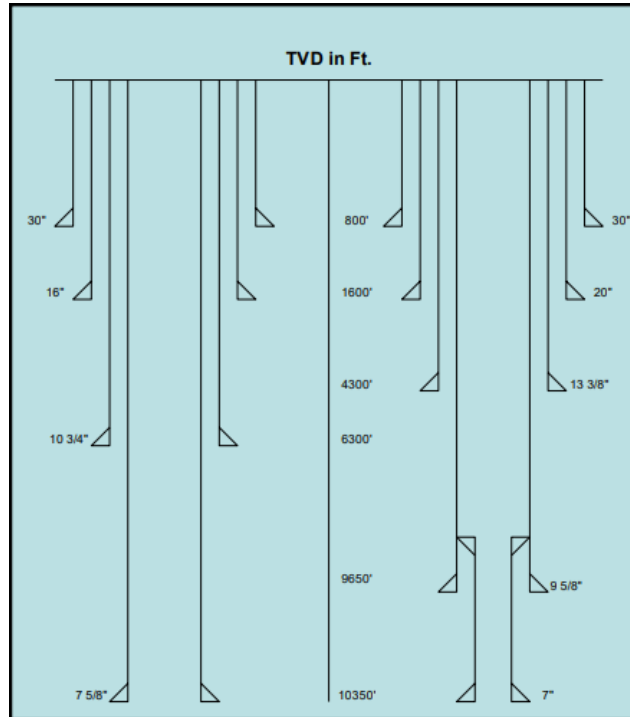


Figura 4. Completación sencilla, el primero con tubing y el segundo con liner.
Fuente: (Ortega, 2016)

Casing: También llamada tubería de revestimiento el esquema está representado en la Figura 5, la tubería es utilizada para recubrir la parte interna del pozo perforado, dando estabilidad y evitando que las paredes del pozo colapsen durante la extracción del crudo (Schlumberger, 2022). Se baja para proteger formaciones de agua dulce, aislar zonas que tienen pérdida de circulación o a su vez aislar formaciones con gradientes de presión significativamente diferentes.

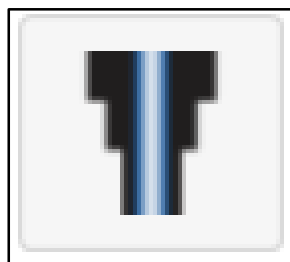


Figura 5. Casing.
Fuente: Software Pipesim 2019.1-Schlumberger

En la Figura 6 se puede observar los diferentes tipos de casing para pozos *Onshore*.

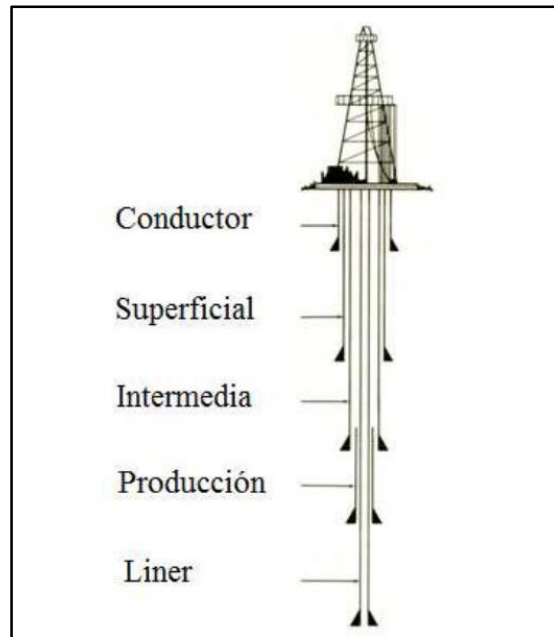


Figura 6. Tuberías de revestimiento en pozos *Onshore*.
Fuente: (Schlumberger, 2004)

Casing Conductor: Es la primera tubería que puede ser cementada el esquema se encuentra representado en la Figura 7; generalmente se instala antes que el taladro de perforación llegue a la locación. Sirve para prevenir derrumbes alrededor de la base del taladro, da soporte al siguiente casing, y sella formaciones someras no consolidadas (Ortega, 2016).

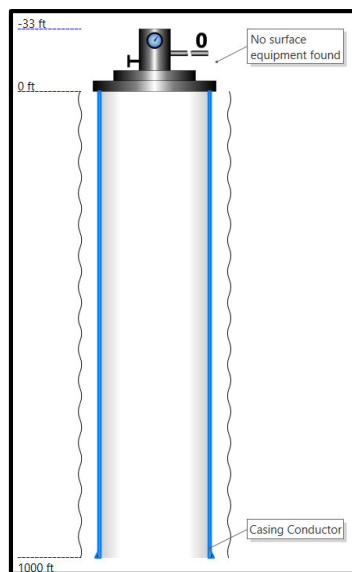


Figura 7. Casing conductor.
Fuente: Software Pipesim 2019.1-Schlumberger

Casing Superficial: Es diseñado para soportar cargas de compresión, en la Figura 8 se encuentra representado el esquema. Sirve para aislar zonas someras poco consolidadas, aísla zonas de agua fresca, soporta el cabezal de pozo y los equipos de BOP (Ortega, 2016).

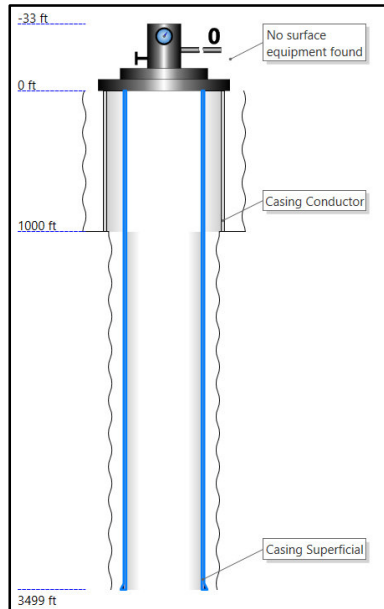


Figura 8. Casing superficial.
Fuente: Software Pipesim 2019.1-Schlumberger

Casing Intermedio: Es diseñado para aislar zonas que son inestables, puede o no ser cementado, el esquema se encuentra representado en la Figura 9. Previene el ensanchamiento del hoyo que puede darse por el lavado del fluido de perforación, da soporte al liner (Ortega, 2016).

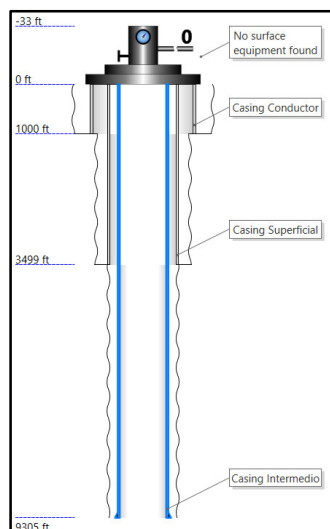


Figura 9. Casing intermedio.
Fuente: Software Pipesim 2019.1-Schlumberger

Casing de Producción: Es diseñado para aislar zonas de producción, en la Figura 10 se puede observar el esquema. Soporta la máxima presión del reservorio, resiste las presiones de fractura, debe ser resistente a la corrosión, protege al tubing (Ortega, 2016).

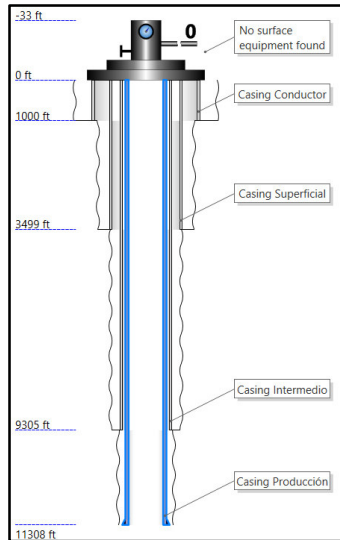


Figura 10. Casing de producción.
Fuente: Software Pipesim 2019.1-Schlumberger

Liner: Es una sarta de revestimiento que no se extiende hasta el cabezal del pozo, sino que se encuentra anclada o suspendida desde la sarta de revestimiento previa, el esquema se encuentra representado en la Figura 11. Es económica y de instalación rápida, permite proteger el desgaste de la tubería de revestimiento (Ortega, 2016).

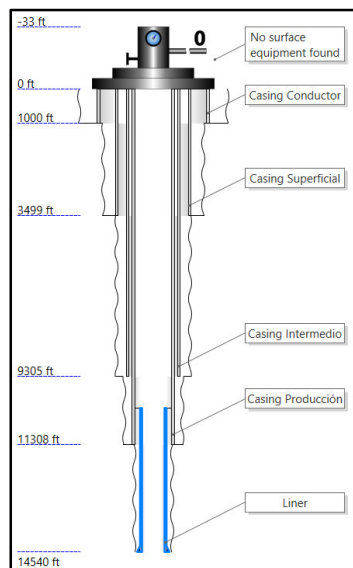


Figura 11. Liner.
Fuente: Software Pipesim 2019.1-Schlumberger

Tubing: Se denomina tubería de producción, tiene un diámetro más pequeño y se introduce por el casing (Steel, 2018). En la Figura 12 se muestra el esquema.

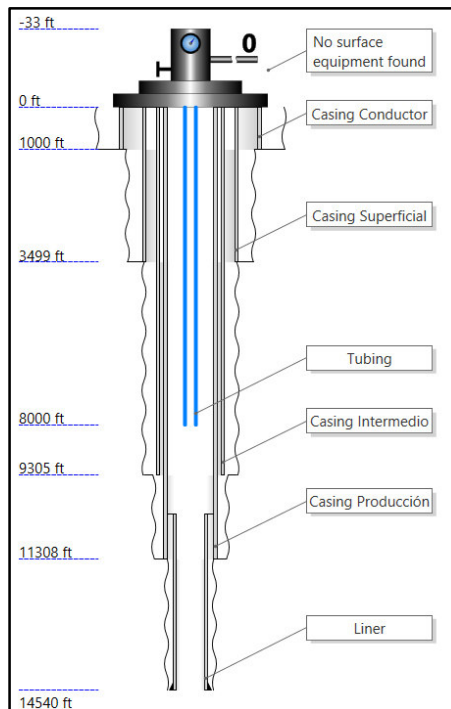


Figura 12. Tubing.

Fuente: Software Pipesim 2019.1-Schlumberger

2.1.3 Levantamiento Artificial por Bombeo Electrosumergible

Es utilizado para extraer grandes cantidades de fluido en pozos profundos. Vargas (2008) menciona que el sistema posee una ventaja al tener pocas instalaciones de superficie, por lo que, puede trabajar en áreas urbanas; además es utilizado en condiciones de pozo poco favorables como: abrasivos, corrosivos, altas temperaturas, alta viscosidad en los fluidos, elevadas cantidades de gas, pozos direccionales y horizontales (dependiendo del ángulo de construcción, generalmente $< 9^\circ/100$ ft).

Su funcionamiento es mediante la rotación centrífuga de la bomba electrosumergible, un motor eléctrico ubicado en el fondo del pozo proporciona la potencia que necesita la bomba; la corriente eléctrica del motor es suministrada y controlada mediante variadores de velocidad instalados en la superficie del pozo, la corriente es conducida a través del cable de potencia hasta el motor (Vargas, 2008).

En la Figura 13 se puede observar los componentes del levantamiento artificial por bombeo electrosumergible.

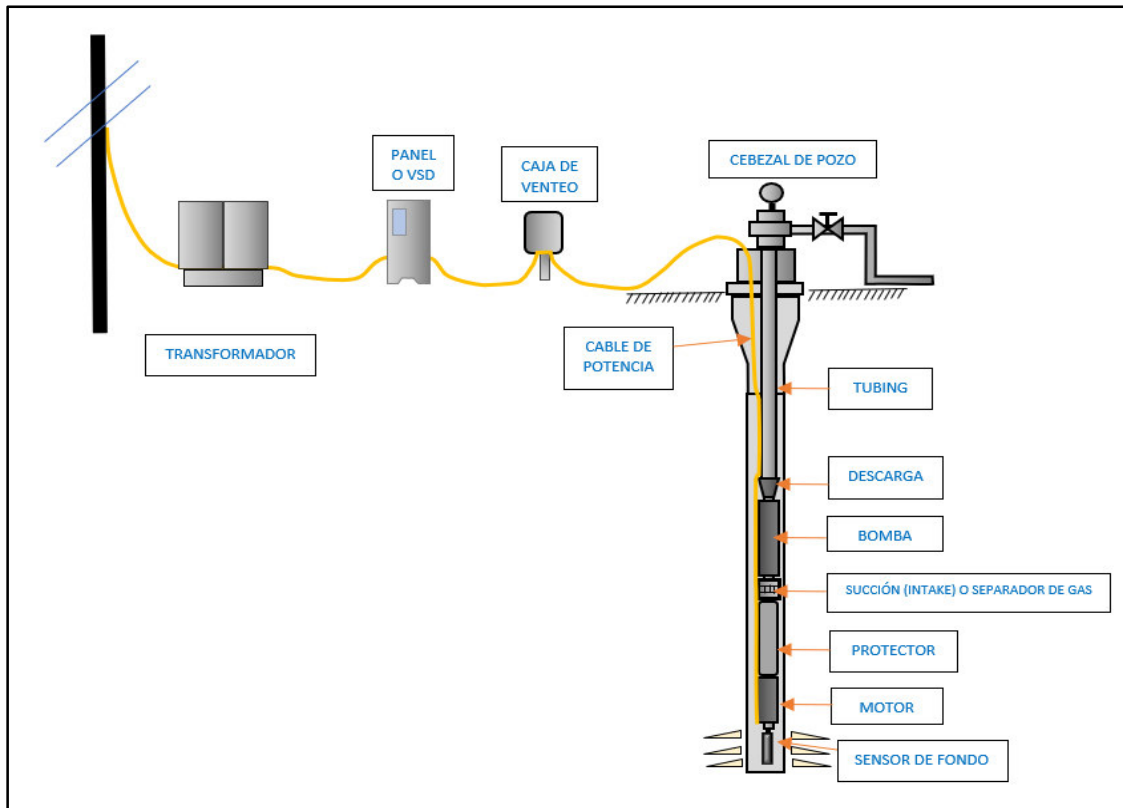


Figura 13. Esquema del sistema de bombeo Electrosumergible.
Elaborado por: Lesly Rivera

2.1.4 Permeabilidades Relativas

La permeabilidad relativa permite comparar dos fluidos inmiscibles en un medio poroso, ya que un fluido en presencia de otro inhibe el flujo, es decir es usada para describir de manera cuantitativa el movimiento simultáneo de dos o más fluidos inmiscibles a través de una roca porosa (Schlumberger, 2022).

Se obtiene mediante la relación que existe entre la permeabilidad efectiva y la permeabilidad absoluta (Madrid, 2019). Se calcula mediante la siguiente ecuación:

$$Kr = \frac{Ke}{K} \quad \text{Ecuación 1}$$

Donde:

Kr = Permeabilidad relativa

Ke = Permeabilidad efectiva

K = Permeabilidad absoluta

2.2 Software y Elementos de Programación

2.2.1 Software PIPESIM

Por más de 30 años, el simulador PIPESIM ha venido evolucionando continuamente con las últimas innovaciones que se presentan en la industria del petróleo y gas (Schlumberger S. , 2008), además que la interfaz cada vez es más amigable con el usuario como se puede ver en la Figura 14.

Las últimas versiones del simulador ayudan a la integración digital, generando un ahorro de tiempo en los ingenieros, todos los procesos manuales se los puede realizar de manera rápida y eficiente mediante codificación.

PIPESIM no sólo modela el flujo multifásico desde el yacimiento hasta el cabezal del pozo, sino que además tiene en cuenta el desempeño de la línea de flujo y de las instalaciones de superficie para proveer un análisis integral del sistema de producción (Schlumberger S. , 2008).

Schlumberger (2009) menciona que el software PIPESIM permite a los usuarios:

- Generar un análisis nodal integral en cualquier punto de un sistema de producción utilizando múltiples parámetros de sensibilidad.
- Diseñar pozos nuevos y analizar los pozos verticales, horizontales y multilaterales existentes.
- Diseñar sistemas de levantamiento artificial con BES para optimizar la producción.
- Generar una simulación con el perfil de Presión/Temperatura.
- Conectarse a OFM para identificar los candidatos de un campo para estudios adicionales o tratamientos con fines de remediación.

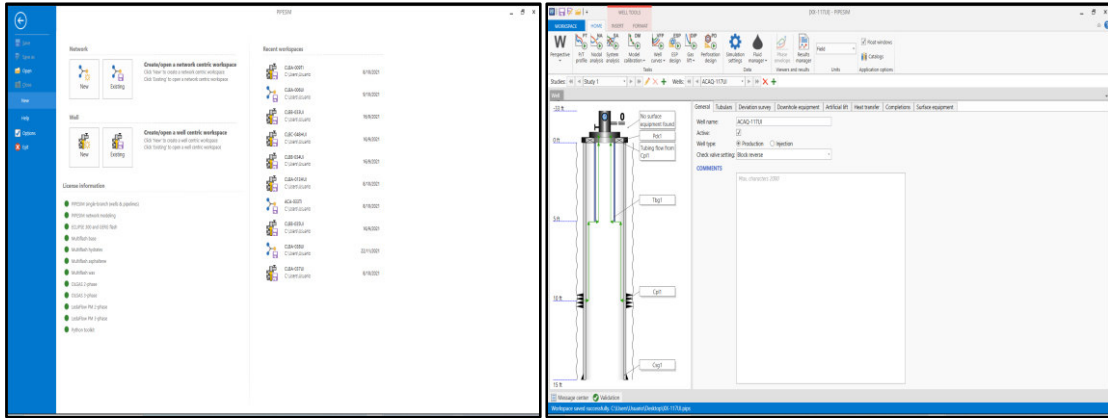


Figura 14. Interfaz de PIPESIM 2019.1
Fuente: Software PIPESIM 2019.1-Schlumberger

2.2.2 Programación

Es el conjunto de instrucciones consecutivas y ordenadas que llevan a la computadora a ejecutar una tarea específica (Robles, 2021). Con el pasar de los años, la programación ha tomado más fuerza ya que tareas que eran repetitivas y rutinarias se las puede reemplazar mediante la automatización de los procesos utilizando la programación.

Robles (2021) expone que la lógica de la programación está conformada por tres elementos sustanciales que son: la creatividad, la lógica y el razonamiento; estos elementos ayudan a crear líneas de código que a su vez facilitan los procesos que se ha venido trabajando por años en la industria del Petróleo y Gas.

La programación requiere de una visión general de un problema y la solución que se le pueda dar utilizando la computadora, para ello Robles (2021) define las fases que se debe seguir para programar, las mismas que son:

- **Análisis del problema:** Esta fase comprende en analizar la problemática a la que se le va a dar solución, se debe identificar todos los recursos con los que se cuenta (tecnológicos, humanos, entre otros). En este punto se define como trabaja el programa y se identifica los requerimientos del usuario.
- **Diseño del algoritmo:** Aquí se ejecuta la visualización gráfica que permita mostrar la solución del problema; se lo puede desarrollar mediante un diagrama de flujo; donde se identifican los datos de entrada, el proceso de ejecución y la salida o resultado que se va a obtener con el diseño.

- **Codificación:** En este punto se puede elegir el lenguaje de programación que desee trabajar; debe seguirse la metodología adecuada para ejecutar la codificación.
- **Ejecución y prueba:** En esta fase se realizan todas las pruebas necesarias para garantizar el buen funcionamiento del programa.

2.2.3 Interfaz Enthought Canopy

Enthought Canopy es un completo entorno de análisis basado en Python para científicos, ingenieros y analistas. Es de fácil instalación y es compatible con los paquetes de Python, lo cual genera una rápida recopilación, manipulación, análisis y visualización de datos. Con esta herramienta la creación de secuencias de comandos se vuelve más sencilla (Quintagroup, 2020).

Quintagroup (2020) da a conocer las características principales que Enthought Canopy incluye en su interfaz, como son:

- Un editor de texto avanzado con resaltado de sintaxis, autocompletado de código Python y verificación de errores.
- Implementación de paquetes de Python con un administrador de paquetes gráfico, que también notifica las actualizaciones, ayuda a revertir las versiones de los paquetes e informa de errores.
- Práctico navegador de documentación con guía del usuario y ejemplos de código.

2.2.4 Lenguaje de Programación Python

Fue creado por Guido van Rossum, al final de la década de los 80 (Python, 2020). El lenguaje de programación ha tomado más fuerza en los últimos años ya que permite procesar fácilmente todo tipo de estructuras de datos, tanto de texto como numéricos.

Es utilizado en universidades y empresas ya que es fácil, amigable y de uso libre; Python se puede usar en varios dispositivos y sistemas operativos ya que se han creado intérpretes para Unix, Linux, Windows y sistemas Mac Os (Mochales, 2020).

Machuca (2021) expone que Python posee tipado dinámico, permitiéndole ser más amigable al momento de definir las variables que se van a utilizar en la codificación, no se necesita decir de que tipo son los datos (si es *string*, *int*, *float*, etc.) facilitando la creación de software.

Gracias a la aceptación y popularidad que tiene el lenguaje, se puede contar con una gran variedad de funciones y librerías que se encuentran ya desarrolladas, por ende, podemos acceder a la extensa biblioteca existente. Posee soporte para la múltiple variedad de bases de datos y es de libre distribución (Python, 2020).

2.2.5 Librerías de Python

Las librerías son fuentes con varias funcionalidades. Los desarrolladores evitan escribir el código para sí mismos al utilizar el código precisamente escrito y bien definido de diferentes librerías. Ayudando a desarrollar el código de manera eficiente y ahorrando tiempo al no tener que escribir un *script* desde cero (Laura, 2021).

Laura (2021) menciona algunas de las librerías que son utilizadas para el cálculo numérico y análisis de datos, como son:

- **NumPy:** Proporciona una estructura de datos universal que permite el análisis e intercambio entre distintos algoritmos. Las estructuras de datos que implementa son vectores multidimensionales y matrices con capacidad para gran cantidad de datos (Laura, 2021).
- **SciPy:** Proporciona rutinas numéricas eficientes, fáciles de usar y opera en las mismas estructuras de datos proporcionadas por NumPy. Sus módulos proporcionan funcionalidad para resolver el cómputo de tareas analíticas y científicas como: integración numérica, optimización, interpolación, transformadas de Fourier, álgebra lineal, estadística, etc. (Laura, 2021).
- **Pandas:** Las estructuras de datos principales en pandas son series para una dimensión y DataFrame para dos dimensiones. Son las estructuras de datos más usadas en muchos campos tales como finanzas, estadística y muchas áreas de

ingeniería. Pandas destaca por lo fácil y flexible que hace la manipulación y el análisis de datos (Laura, 2021).

- **Xlwings:** es una librería diseñada para el análisis de información avanzado a base del lenguaje de programación Python y, por supuesto, compatible con Excel (Odin, 2020).

2.2.6 PythonToolkit (PTK)

PythonToolkit (PTK) es un entorno interactivo para Python. Originalmente fue diseñado para proporcionar un entorno similar a Matlab para científicos e ingenieros cuando se usa junto con los paquetes de Python: numpy, scipy y matplotlib (SOURCEFORGE, 2021). Sin embargo, también se puede utilizar como un entorno interactivo de propósito general, especialmente para la programación de interfaz gráfica de usuario interactiva.

Está construido alrededor de una ventana de consola, un editor de código y un sistema de complementos de herramientas para que se puedan agregar fácilmente características adicionales de Python (SOURCEFORGE, 2021).

2.3 Diagrama de Flujo para Algoritmos / Programación

Son útiles para escribir un programa o algoritmo como ayuda a la explicación que se debe dar a otras personas respecto al desarrollo y funcionamiento del código. Se puede usar para explicar detalladamente la lógica detrás de un programa antes de empezar a codificar el proceso automatizado. Puede ayudar a organizar una perspectiva general y ofrecer una guía cuando llega el momento de codificar. (Lucidchart, 2020).

Con los diagramas de flujo se puede:

- Mostrar la organización en la que se ejecutó el código.
- Visualizar la ejecución del código dentro de un programa.
- Mostrar la estructura de aplicación.
- Comprender cómo los usuarios van a utilizar el código dentro del programa.

3. METODOLOGÍA

Previo a la codificación se realizó una recopilación de los datos que se tiene de los 18 pozos que conforman un campo de la Región Amazónica del Ecuador; los modelos de choke eran realizados manualmente en PIPESIM 2012.3.

La versión 2012.3 al no poseer librerías para codificar, fue necesario migrar los modelos a PIPESIM 2019.1; en donde se realizó codificación para crear los modelos desde cero y generar el modelo de choke totalmente automatizado. A continuación, en la Figura 15 se detalla todo el procedimiento que se empleó para tener una automatización completa del modelo.

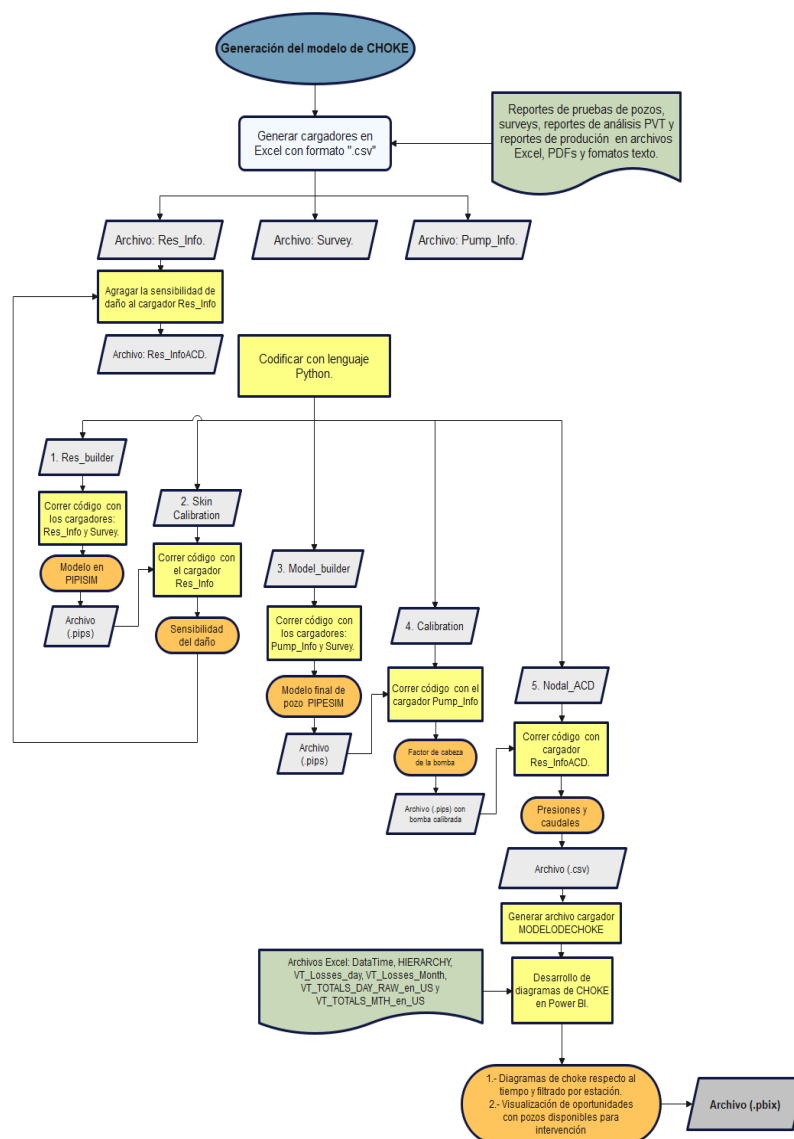


Figura 15. Diagrama de flujo de la metodología aplicada para generar el modelo de choke. Elaborado por: Lesly Rivera

3.1 Desarrollo del Modelo de Pozo Base en PIPESIM.

Se realiza la codificación para generar el modelo de pozo en PIPESIM mediante la base de datos (Res_Info & survey); el flujo de trabajo se describe en la Figura 16.

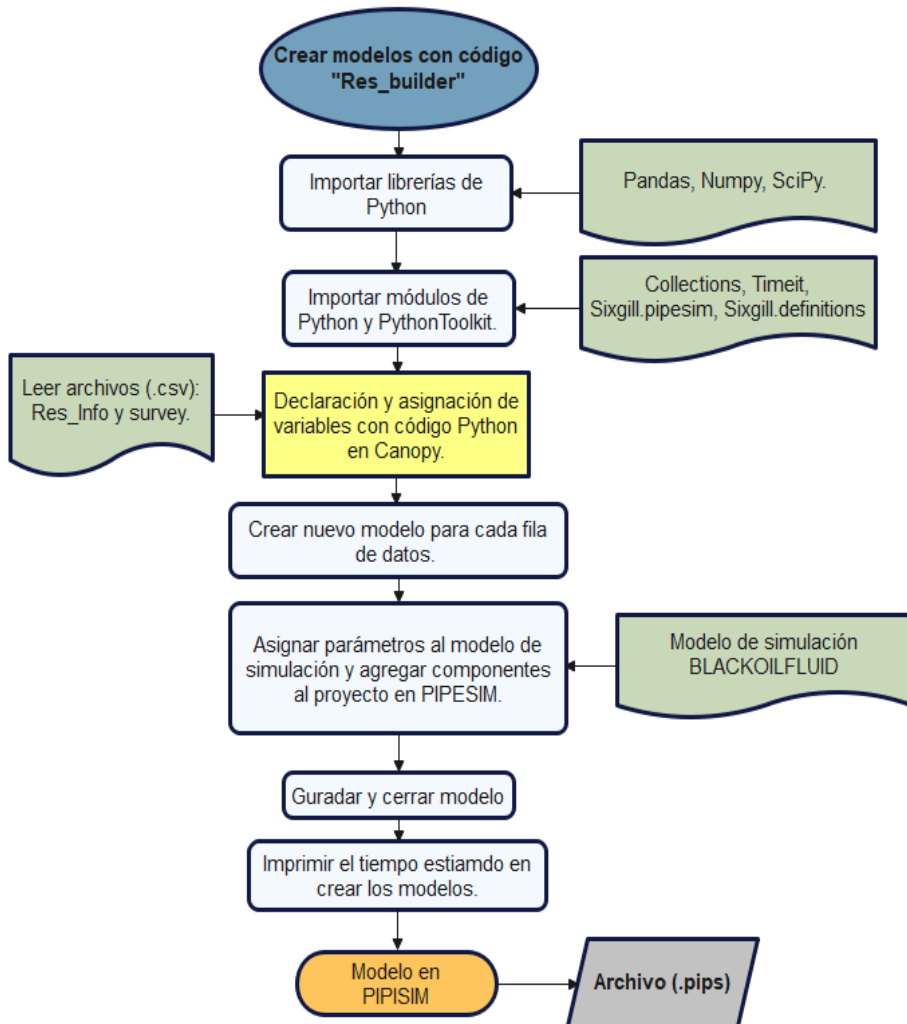


Figura 16. Diagrama de flujo Res_builder para elaborar el modelo de pozo base en PIPESIM.
Elaborado por: Lesly Rivera

Las bases de datos (Res_Info & survey) son generadas en un archivo Excel con la información que se posee de cada pozo, se genera el código "Res_builder" para crear el modelo base en PIPESIM. El código no se encuentra adjunto por temas de confidencialidad de la empresa.

En la Tabla 1 se puede ver los datos de reservorio y datos estándar de completación de cada pozo los mismos que se encuentran generados en un archivo llamado “Res_Info”.

Tabla 1. Datos de reservorio y completación generados en el archivo Res_Info.
Elaborado por: Lesly Rivera

| WELL | CASING_START | CASING_END | CASING_ID | CASING_WT | CASING_DIAM | LINER_START | LINER_END | LINER_ID | LINER_WT | LINER_DIAM | TUBING_START | TUBING_END | TUBING_ID | TUBING_WT | ESP_TYPE |
|-------------|--------------|------------|-----------|-----------|-------------|-------------|-----------|----------|----------|------------|--------------|------------|-----------|-----------|----------|
| AB-057HI | 0 | 15 | 6.28 | 0.36 | 10 | | | | | | 0 | 5 | 2.99 | 0.25 | |
| AC-063TI | 0 | 15 | 6.28 | 0.36 | 10 | | | | | | 0 | 5 | 2.99 | 0.25 | |
| AC-127TI | 0 | 15 | 6.28 | 0.36 | 10 | | | | | | 0 | 5 | 2.99 | 0.25 | |
| AC-165TI | 0 | 15 | 6.28 | 0.36 | 10 | | | | | | 0 | 5 | 2.99 | 0.25 | |
| AC-170TI | 0 | 15 | 6.28 | 0.36 | 10 | | | | | | 0 | 5 | 2.99 | 0.25 | |
| XA-009TI | 0 | 15 | 6.28 | 0.36 | 10 | | | | | | 0 | 5 | 2.99 | 0.25 | |
| XA-010HS1UI | 0 | 15 | 6.28 | 0.36 | 10 | | | | | | 0 | 5 | 2.99 | 0.25 | |
| XA-013HUI | 0 | 15 | 6.28 | 0.36 | 10 | | | | | | 0 | 5 | 2.99 | 0.25 | |
| XA-037UI | 0 | 15 | 6.28 | 0.36 | 10 | | | | | | 0 | 5 | 2.99 | 0.25 | |
| XB-012UI | 0 | 15 | 6.28 | 0.36 | 10 | | | | | | 0 | 5 | 2.99 | 0.25 | |
| XB-021UI | 0 | 15 | 6.28 | 0.36 | 10 | | | | | | 0 | 5 | 2.99 | 0.25 | |
| XB-033UI | 0 | 15 | 6.28 | 0.36 | 10 | | | | | | 0 | 5 | 2.99 | 0.25 | |
| XB-035UI | 0 | 15 | 6.28 | 0.36 | 10 | | | | | | 0 | 5 | 2.99 | 0.25 | |
| XC-043HUI | 0 | 15 | 6.28 | 0.36 | 10 | | | | | | 0 | 5 | 2.99 | 0.25 | |
| YA-015UI | 0 | 15 | 6.28 | 0.36 | 10 | | | | | | 0 | 5 | 2.99 | 0.25 | |
| YD-023HUI | 0 | 15 | 6.28 | 0.36 | 10 | | | | | | 0 | 5 | 2.99 | 0.25 | |
| Z-003UI | 0 | 15 | 6.28 | 0.36 | 10 | | | | | | 0 | 5 | 2.99 | 0.25 | |
| Z-004TI | 0 | 15 | 6.28 | 0.36 | 10 | | | | | | 0 | 5 | 2.99 | 0.25 | |

| WELL | ESP_STAGES | CPL_START | CPL_PR | CPL_TR | CPL_THICKNESS | CPL_K | CPL_S | LIQUID | WCUT | GOR | API | FREQ | WHP | PWF | BRCH | PWF_OBJAVOCET |
|-------------|------------|-----------|---------|--------|---------------|--------|-------|--------|------|--------|------|------|-----|-------------|------------------------|---------------|
| AB-057HI | | 10 | 1700 | 236 | 10 | 614 | 0 | 755 | 74 | 9.02 | 27.6 | 77.5 | 110 | 741.31 | AB-057HI - Wellhead | 450 |
| AC-063TI | | 10 | 1490.51 | 220 | 55.946 | 519.24 | 0 | 1944 | 89 | 229 | 22.4 | 59 | 20 | 838.46 | AC-063TI - Wellhead | 676.26 |
| AC-127TI | | 10 | 1481 | 220 | 60.337 | 83 | 0 | 1334 | 88 | 229.01 | 23.9 | 61 | 30 | 476.25 | AC-127TI - Wellhead | 620 |
| AC-165TI | | 10 | 1427.21 | 220 | 73.358 | 113.29 | 0 | 780 | 86 | 229.03 | 23.3 | 56 | 30 | 654.16 | AC-165TI - Wellhead | 477.43 |
| AC-170TI | | 10 | 1478.77 | 220 | 78.99 | 160 | 0 | 1446 | 87 | 229.01 | 22.1 | 57 | 20 | 661.89 | AC-170TI - Wellhead | 779.3 |
| XA-009TI | | 10 | 2064 | 226 | 8 | 55 | 0 | 174 | 3 | 150 | 26.3 | 48.5 | 60 | 376.88 | XA-009TI - Wellhead | 450 |
| XA-010HS1UI | | 10 | 1387.94 | 220 | 28 | 254 | 0 | 584 | 24 | 163 | 18.5 | 57.6 | 120 | 443.1 | XA-010HS1UI - Wellhead | 510 |
| XA-013HUI | | 10 | 1431.4 | 220 | 53 | 213 | 0 | 1099 | 1 | 150 | 19.8 | 57 | 200 | 556.81 | XA-013HUI - Wellhead | 550 |
| XA-037UI | | 10 | 1551.98 | 220 | 30.91 | 77 | 0 | 228 | 36 | 160 | 19.1 | 61 | 105 | 291.15 | XA-037UI - Wellhead | 287 |
| XB-012UI | | 10 | 1343.15 | 220 | 46.25 | 330 | 0 | 1365 | 65 | 160 | 20.1 | 61 | 25 | 384.7847534 | XB-012UI - Wellhead | 330 |
| XB-021UI | | 10 | 1283.91 | 220 | 36 | 125.23 | 0 | 406 | 90 | 160 | 17.8 | 57 | 260 | 340.0720655 | XB-021UI - Wellhead | 300 |
| XB-033UI | | 10 | 1095.7 | 220 | 65.37 | 482 | 0 | 1060 | 48 | 160 | 18.6 | 51 | 25 | 514.7659761 | XB-033UI - Wellhead | 280 |
| XB-035UI | | 10 | 1249.52 | 220 | 40 | 65 | 0 | 145 | 3 | 160 | 18.5 | 52 | 100 | 291.3196234 | XB-035UI - Wellhead | 240 |
| XC-043HUI | | 10 | 1500 | 220 | 31.48 | 481.68 | 0 | 1720 | 64 | 163 | 17.8 | 56 | 160 | 1101.26 | XC-043HUI - Wellhead | 1185 |
| YA-015UI | | 10 | 1500 | 224 | 37 | 155 | 0 | 340 | 64 | 146.98 | 18.7 | 57.5 | 130 | 370.95 | YA-015UI - Wellhead | 380 |
| YD-023HUI | | 10 | 1201.41 | 224 | 36.62 | 1116 | 0 | 2040 | 44 | 147 | 18.5 | 64.7 | 200 | 692.1 | YD-023HUI - Wellhead | 700 |
| Z-003UI | | 10 | 1820 | 220 | 33.5 | 90 | 0 | 162 | 3 | 145.98 | 18.3 | 43 | 30 | 415.16 | Z-003UI - Wellhead | 275 |
| Z-004TI | | 10 | 1729 | 226 | 19.76 | 150 | 0 | 444 | 6 | 123.01 | 27.1 | 54.5 | 150 | 306.44 | Z-004TI - Wellhead | 450 |

En la Tabla 2 se puede visualizar el cargador “survey” que cuenta con datos de las trayectorias de cada pozo (MD & TVD).


```

from sixgill.pipesim import Model
from sixgill.definitions import ModelComponents, Parameters, Constants
import pandas as pd
from timeit import default_timer as timer

```

Figura 17. Librerías de Python y Python Toolkit.
Fuente: Canopy versión 2.1.9.30

A continuación, se traslada los datos que se tiene en el archivo “Res_Info & survey” hacia el software PIPESIM, esta acción se realiza con la librería de Pandas.

Para empezar a crear el modelo en PIPESIM se define variables que son de ayuda durante toda la programación; ya que hace referencia a los datos que son guardados en cajas llamadas “objetos”, ayudando a recordar la variable utilizada durante toda la codificación.

Las variables que se utilizaron para crear el modelo en PIPESIM son “wellname” que hace referencia al nombre del pozo y “filename” que permitirá abrir y crear el modelo PIPESIM. En la Figura 18 se puede visualizar la corrida del código Res_builder y en la Figura 19 se puede observar los archivos creados en PIPESIM a partir de la ejecución del código.

```

Python
object? -> Details about 'object', use 'object??' for extra details.

In [1]: !run "C:\Users\Usuario\Documents\TESIS\1. PRESENTACION FINAL\CODIGOS BIEN\1. Res_builder.py"
INFO:manta.server.manager:Starting PIPESIM server on thread ID: 17856
INFO:manta.server.manager:Waiting for PIPESIM server to start and Python_Toolkit license check out.
INFO:manta.server.manager:Waiting for PIPESIM server to start and Python_Toolkit license check out.
INFO:manta.server.manager:Waiting for PIPESIM server to start and Python_Toolkit license check out.
INFO:manta.server.manager:Starting PIPESIM server on thread ID: 15100
INFO:manta.server.manager:Waiting for PIPESIM server to start and Python_Toolkit license check out.
INFO:manta.server.manager:Waiting for PIPESIM server to start and Python_Toolkit license check out.
INFO:sixgill.core.metadata:Using cached metadata for 'http://localhost:58227/api/metadata#'
INFO:manta.server.manager:Starting PIPESIM server on thread ID: 6748
INFO:manta.server.manager:Waiting for PIPESIM server to start and Python_Toolkit license check out.
INFO:sixgill.core.metadata:Using cached metadata for 'http://localhost:58235/api/metadata#'
INFO:manta.server.manager:Waiting for PIPESIM server to start and Python_Toolkit license check out.
INFO:sixgill.core.metadata:Using cached metadata for 'http://localhost:58262/api/metadata#'
INFO:manta.server.manager:Starting PIPESIM server on thread ID: 9952
INFO:manta.server.manager:Waiting for PIPESIM server to start and Python_Toolkit license check out.
INFO:sixgill.core.metadata:Using cached metadata for 'http://localhost:58285/api/metadata#'
INFO:manta.server.manager:Starting PIPESIM server on thread ID: 3744
INFO:manta.server.manager:Waiting for PIPESIM server to start and Python_Toolkit license check out.
INFO:sixgill.core.metadata:Using cached metadata for 'http://localhost:58306/api/metadata#'
INFO:manta.server.manager:Starting PIPESIM server on thread ID: 20720
INFO:manta.server.manager:Waiting for PIPESIM server to start and Python_Toolkit license check out.
INFO:manta.server.manager:Waiting for PIPESIM server to start and Python_Toolkit license check out.
INFO:sixgill.core.metadata:Using cached metadata for 'http://localhost:58319/api/metadata#'
INFO:manta.server.manager:Starting PIPESIM server on thread ID: 21812
INFO:manta.server.manager:Waiting for PIPESIM server to start and Python_Toolkit license check out.
INFO:sixgill.core.metadata:Using cached metadata for 'http://localhost:58327/api/metadata#'
INFO:manta.server.manager:Starting PIPESIM server on thread ID: 11828
INFO:manta.server.manager:Waiting for PIPESIM server to start and Python_Toolkit license check out.
INFO:sixgill.core.metadata:Using cached metadata for 'http://localhost:58349/api/metadata#'
INFO:manta.server.manager:Starting PIPESIM server on thread ID: 2328
INFO:manta.server.manager:Waiting for PIPESIM server to start and Python_Toolkit license check out.
INFO:sixgill.core.metadata:Using cached metadata for 'http://localhost:58356/api/metadata#'
INFO:manta.server.manager:Starting PIPESIM server on thread ID: 5396
INFO:manta.server.manager:Waiting for PIPESIM server to start and Python_Toolkit license check out.
INFO:sixgill.core.metadata:Using cached metadata for 'http://localhost:58364/api/metadata#'
INFO:manta.server.manager:Starting PIPESIM server on thread ID: 8936
INFO:manta.server.manager:Waiting for PIPESIM server to start and Python_Toolkit license check out.
INFO:sixgill.core.metadata:Using cached metadata for 'http://localhost:58373/api/metadata#'
INFO:manta.server.manager:Starting PIPESIM server on thread ID: 12100
INFO:manta.server.manager:Waiting for PIPESIM server to start and Python_Toolkit license check out.
INFO:sixgill.core.metadata:Using cached metadata for 'http://localhost:58384/api/metadata#'
INFO:manta.server.manager:Starting PIPESIM server on thread ID: 4728
INFO:manta.server.manager:Waiting for PIPESIM server to start and Python_Toolkit license check out.
INFO:sixgill.core.metadata:Using cached metadata for 'http://localhost:58390/api/metadata#'
INFO:manta.server.manager:Starting PIPESIM server on thread ID: 9052
INFO:manta.server.manager:Waiting for PIPESIM server to start and Python_Toolkit license check out.
INFO:sixgill.core.metadata:Using cached metadata for 'http://localhost:58390/api/metadata#'
INFO:manta.server.manager:Starting PIPESIM server on thread ID: 1832

```

Figura 18. Corrida del Código para crear los archivos en PIPESIM (.pips)
Fuente: Canopy versión 2.1.9.30

| | | | |
|-----|-------------|--------------------|--------|
| PIP | AB-057HI | PIPESIM model file | 324 KB |
| PIP | AC-063TI | PIPESIM model file | 325 KB |
| PIP | AC-127TI | PIPESIM model file | 326 KB |
| PIP | AC-165TI | PIPESIM model file | 325 KB |
| PIP | AC-170TI | PIPESIM model file | 326 KB |
| PIP | XA-009TI | PIPESIM model file | 325 KB |
| PIP | XA-010HS1UI | PIPESIM model file | 326 KB |
| PIP | XA-013HUI | PIPESIM model file | 326 KB |
| PIP | XA-037UI | PIPESIM model file | 326 KB |
| PIP | XB-012UI | PIPESIM model file | 325 KB |
| PIP | XB-021UI | PIPESIM model file | 325 KB |
| PIP | XB-033UI | PIPESIM model file | 331 KB |
| PIP | XB-035UI | PIPESIM model file | 325 KB |
| PIP | XC-043HUI | PIPESIM model file | 332 KB |
| PIP | YA-015UI | PIPESIM model file | 325 KB |
| PIP | YD-023HUI | PIPESIM model file | 326 KB |
| PIP | Z-003UI | PIPESIM model file | 325 KB |
| PIP | Z-004TI | PIPESIM model file | 325 KB |

Figura 19. Archivos PIPESIM (.pips) generados a partir de la corrida del código.
Fuente: Software PIPESIM 2019.1-Schlumberger

Para generar el modelo de pozo en PIPESIM como se muestra en la Figura 20; en el código se debe crear variables que permitan enlazar los datos con los nombres establecidos en el encabezado de las tablas generadas en el archivo Excel (CASING_START, CASING_END, CPL_PR, etc.); estas variables deben ajustarse a los *keywords* de las librerías de Python Toolkit para que el modelo de PIPESIM pueda ser creado y no rebote ningún error al momento de cargar los datos en la interfaz del software.

Una vez definidas las variables a utilizar, se empieza a codificar la construcción del modelo mediante los parámetros establecidos en Python Toolkit, se puede hacer referencia a los parámetros desde el contexto de nivel superior, siempre que sean únicos.

Se utiliza “model.add” para añadir los componentes del modelo como argumentos de la codificación. La trayectoria del pozo se maneja como arreglo, es decir, se asigna a un “DataFrame” que es una estructura de datos con dos dimensiones en la cual se puede guardar distintos tipos (como caracteres, enteros, valores de punto flotante, factores y más) (Carpentries, 2021).

Se cargan los datos de “completion”, “casing”, “packer”, “tubing” y propiedades del fluido con las variables de cada elemento, los datos serán transferidos al software mediante “model.add”, generándose de esta manera el modelo de pozo en PIPESIM.

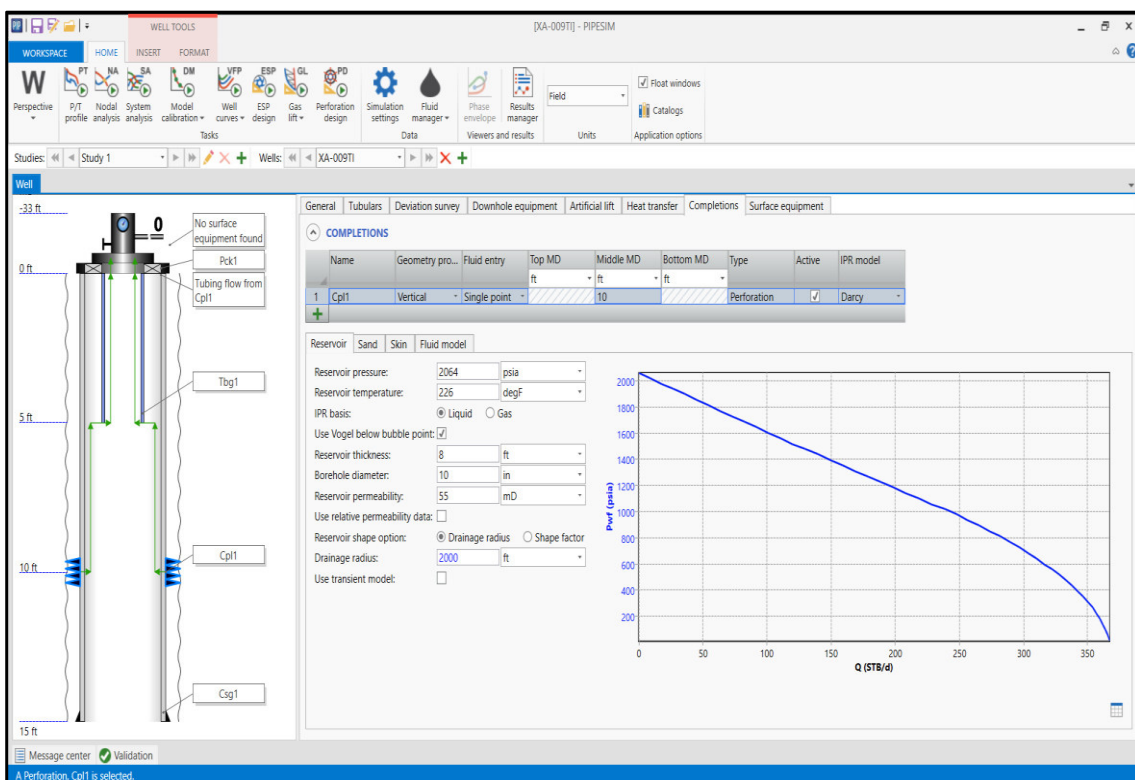
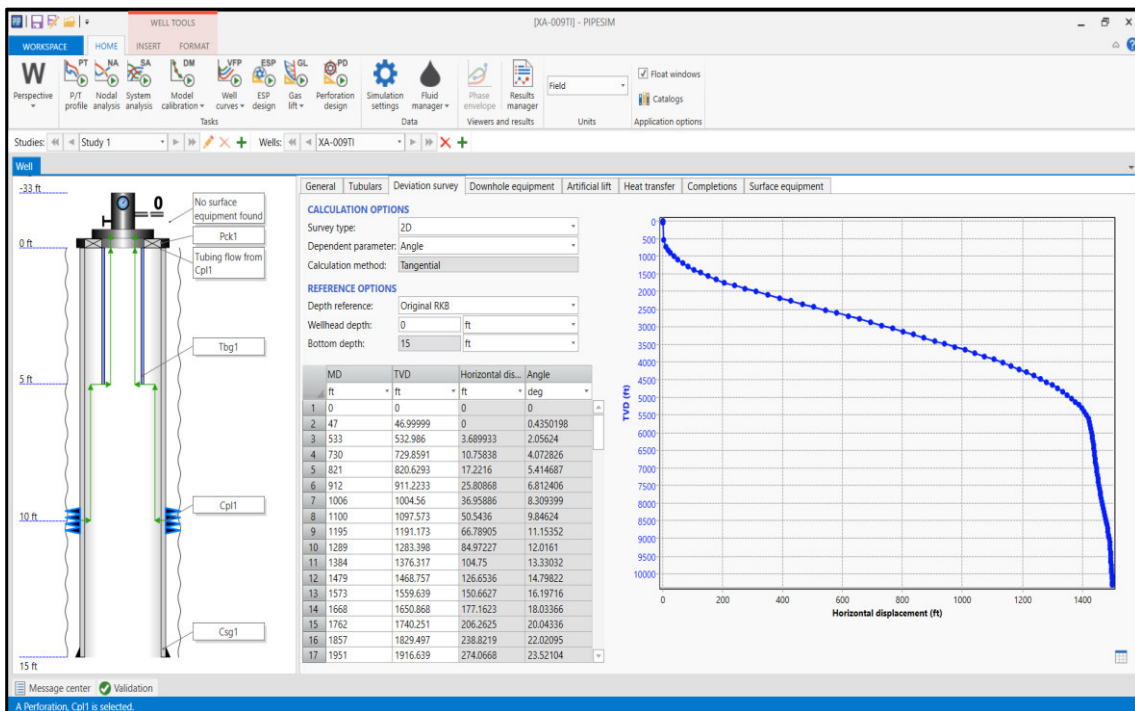


Figura 20. Creación del modelo de pozo en PIPESIM.
Fuente: Software PIPESIM 2019.1-Schlumberger

Una vez creado el modelo base en PIPESIM, se procede a ingresar de manera manual los datos de permeabilidades relativas de cada pozo. Las permeabilidades relativas son las más afectadas con el daño de formación por invasión de finos, la geometría de los poros y asociación con el área superficial (Islas, 1991). En la Figura 21 se puede observar el cambio que se da en la tasa de producción (STB/d) cuando se genera la curva IPR con datos de permeabilidades relativas. Finalmente se guarda y cierra el modelo.

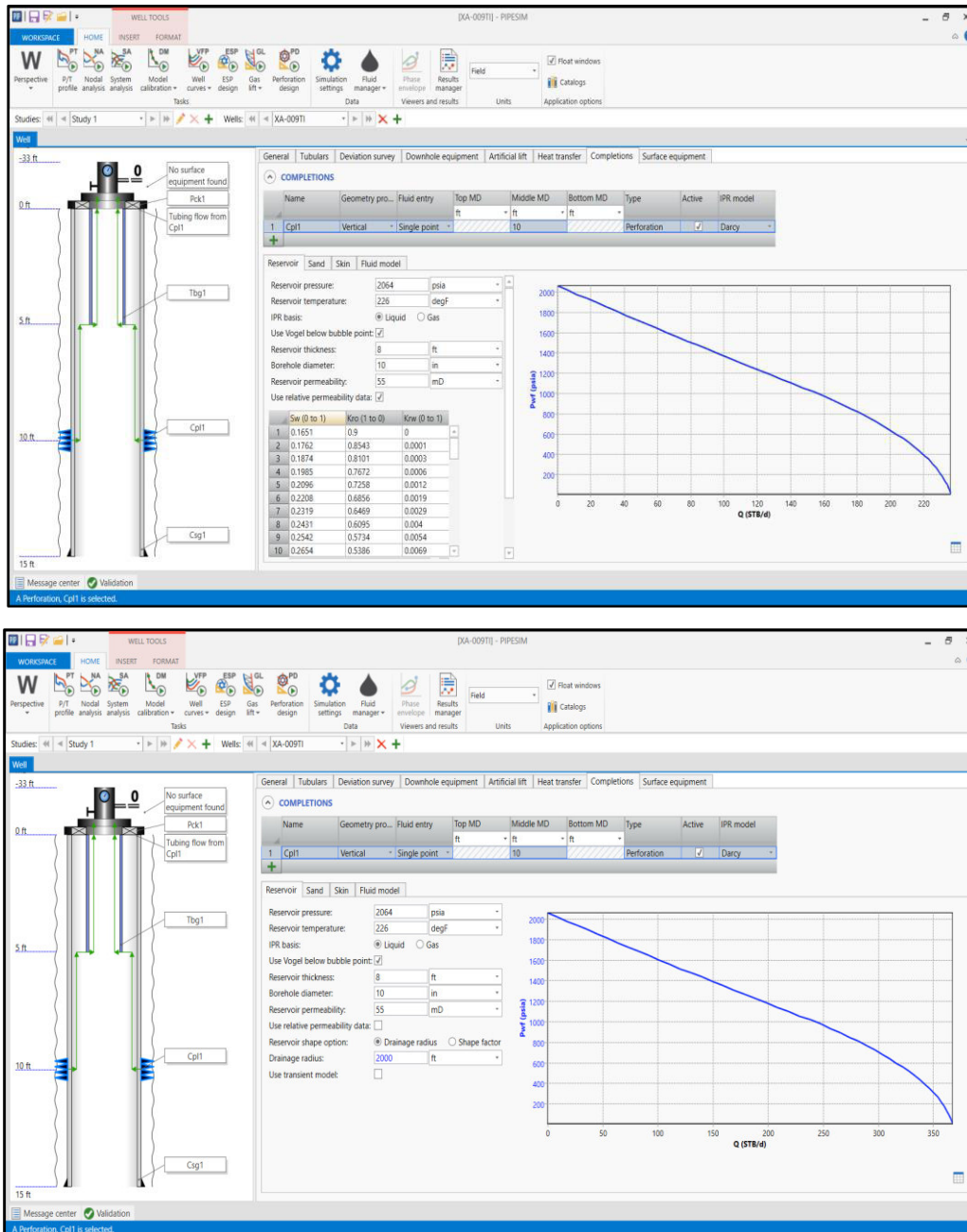


Figura 21. Generación de la curva IPR con & sin datos de Kr.
Fuente: Software PIPESIM 2019.1-Schlumberger

3.2 Calibración del Daño de Pozo.

En la Figura 22 se encuentra detallado el flujo de trabajo respecto a la codificación realizada para obtener el valor del daño a las condiciones de reservorio.

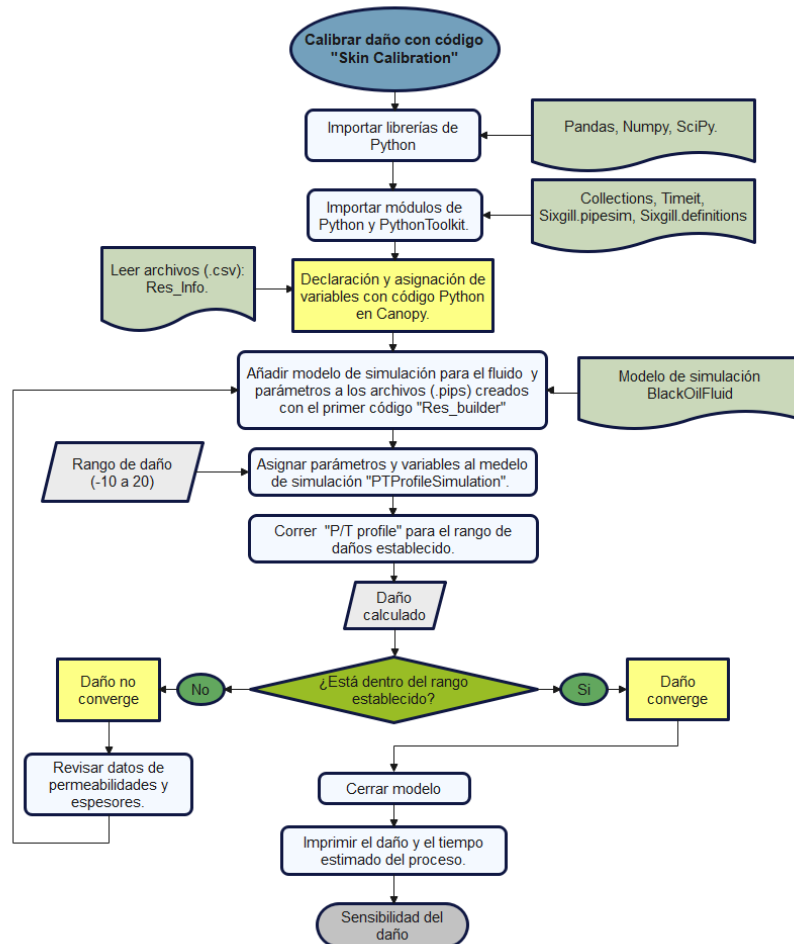


Figura 22. Diagrama de flujo para el código *Skin Calibration*.
Elaborado por: Lesly Rivera

Una vez creado el modelo del pozo y cargadas las permeabilidades relativas, se procede a calibrar el daño de formación. Mediante la elaboración del código “Skin Calibration” se puede realizar la sensibilidad del daño permitiendo obtener un mejor ajuste en el valor obtenido, en base a las condiciones de reservorio que posee cada pozo. El código no se encuentra disponible por cuestiones de confidencialidad con la empresa.

Para comenzar con la codificación en la interfaz de Canopy se debe importar:

- El modelo

- Parámetros
- Variables
- Constantes

Mediante las librerías de Python Toolkit, Pandas, Numpy, y el tiempo de ejecución se genera la codificación de la sensibilidad del daño de formación; además se establece el módulo “collections” que permite implementar tipos de datos de contenedores especializados, proporcionando alternativas a los contenedores integrados de uso general de Python (Python Software Foundation, 2022).

Con el módulo “collections” se puede importar “defaultdict” que ayuda, a que, si no se encuentra una clave en el diccionario de Python, en lugar de generar un *KeyError* hace de crear una nueva entrada (Python Software Foundation, 2022) permitiendo la generación del modelo al momento de correr el código.

Con “scipy.interpolate” se puede interpolar los datos, que van desde la interpolación unidimensional simple hasta soluciones que son más complejas como interpolación multidimensional (DelfStack, 2020); en la Figura 23 a modo de ejemplo se presenta un fragmento de código de las librerías importadas.

```

from sixgill.pipesim import Model
from sixgill.definitions import Parameters, SystemVariables, ProfileVariables, Constants, ModelComponents
from collections import defaultdict
import pandas as pd
import numpy as np
from scipy.interpolate import interp1d
from timeit import default_timer as timer

```

Figura 23. Librerías, módulos y funciones importadas al código.
Fuente: Canopy versión 2.1.9.30

Para realizar la calibración del daño, el código abre el modelo base creado anteriormente y los datos que se encuentran en el archivo de Excel “Res_Info” son codificados con las librerías de Pandas.

Se empieza definiendo variables que son de ayuda durante toda la programación; las variables deben pertenecer al conjunto de componentes del modelo para realizar la simulación con el perfil de presión y temperatura en PIPESIM.

Las variables que se utilizarán en la codificación pertenecen a las propiedades del reservorio, puesto que, para calibrar el daño se debe utilizar los datos de: presión de reservorio, presión de fondo fluyente, presión de cabeza, temperatura de reservorio, corte de agua, frecuencia, y la tasa del líquido.

Una vez definidas las variables se accede a los parámetros “parameters” de los componentes del modelo para generar la simulación con el perfil de presión y temperatura. La trayectoria del pozo se maneja como arreglo siendo asignada a un “DataFrame”.

Posteriormente se realiza la simulación con el comando “PTProfileSimulation”; el código requiere de un rango en que pueda converger el modelo con la calibración del daño, para ello se debe colocar el valor mínimo “MINVALUE” y el valor máximo “MAXVALUE” dentro de las líneas de código, estos valores pueden ser modificados antes de correr el modelo; para definir el rango se deberá tener presente los datos petrofísicos del pozo.

Finalmente se definen las variables del sistema de salida para ejecutar el estudio de simulación de red mediante “parameters”, “profile_variables” y “system_variables”; obteniendo como resultado el valor calibrado de daño a las condiciones de reservorio; en la Figura 24 se muestra la interfaz de Canopy con el valor de cada uno de los daños generados por pozo y en la Figura 25 se muestra el archivo con los datos cargados en PIPESIM a partir de la corrida del código. El modelo es guardado y cerrado.

```
Python
In [2]: %run "C:\Users\Usuario\Documents\TESIS\1. PRESENTACIÓN FINAL\CODIGOS BIEN\2. Skin Calibration.py"
INFO:manta.server.manager:Starting PIPESIM server on thread ID: 3728
INFO:manta.server.manager:Waiting for PIPESIM server to start and Python_Toolkit license check out.
INFO:sixgill.core.metadata:Using cached metadata for 'http://localhost:59018/api/metadata#'

Starting to open the well model XA-009TI to set values
Running PT profile simulation for the well XA-009TI
INFO:sixgill.core.simulations:Simulation is running.
INFO:sixgill.core.simulations:Simulation is finished.
INFO:sixgill.core.simulations:Simulation run successfully.

The results for the well XA-009TI of
Profile result for ILL-CONDITIONED Cpl1-MechanicalSkin=-.9716508
INFO:manta.server.manager:Starting PIPESIM server on thread ID: 19736
INFO:manta.server.manager:Waiting for PIPESIM server to start and Python_Toolkit license check out.
INFO:sixgill.core.metadata:Using cached metadata for 'http://localhost:59028/api/metadata#'
WARNING:sixgill.core.catalog:Computing context for node "Node?id=metadata%23Model_2017.1*2712" (8)

Starting to open the well model XA-013HUI to set values
Running PT profile simulation for the well XA-013HUI
INFO:sixgill.core.simulations:Simulation is running.
INFO:sixgill.core.simulations:Simulation is finished.
INFO:sixgill.core.simulations:Simulation run successfully.

The results for the well XA-013HUI of
Profile result for Cpl1-MechanicalSkin=2.062001
INFO:manta.server.manager:Starting PIPESIM server on thread ID: 20400
INFO:manta.server.manager:Waiting for PIPESIM server to start and Python_Toolkit license check out.
INFO:sixgill.core.metadata:Using cached metadata for 'http://localhost:59034/api/metadata#'
WARNING:sixgill.core.catalog:Computing context for node "Node?id=metadata%23Model_2017.1*2712" (8)

Starting to open the well model XA-037UI to set values
Running PT profile simulation for the well XA-037UI
INFO:sixgill.core.simulations:Simulation is running.
INFO:sixgill.core.simulations:Simulation is finished.
INFO:sixgill.core.simulations:Simulation run successfully.
```

Figura 24. Daño calibrado, valores generados en Canopy.
Fuente: Canopy versión 2.1.9.30

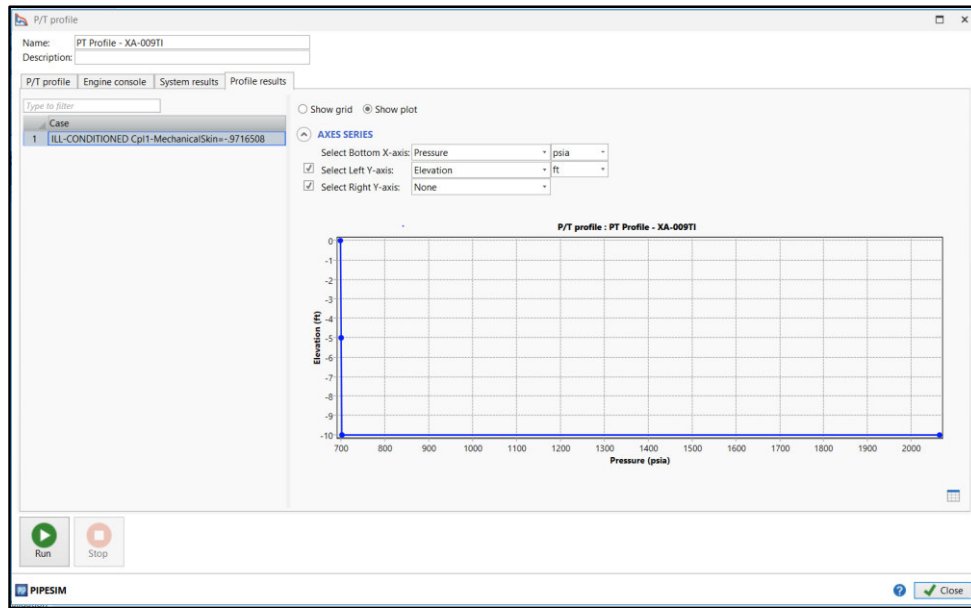


Figura 25. Daño simulado y calibrado en PIPESIM.
Fuente: Software PIPESIM 2019.1-Schlumberger

En la Tabla 3 se resume los valores de daño obtenidos con la simulación de cada pozo.

Tabla 3. Valores de daño obtenidos a partir de la simulación con el perfil Presión/Temperatura.
Elaborado por: Lesly Rivera

| WELL | SKIN |
|-------------|------------|
| AB-057HI | 5.621881 |
| AC-063TI | 9.326328 |
| AC-127TI | -1.867956 |
| AC-165TI | 5.244057 |
| AC-170TI | 3.275128 |
| XA-009TI | -0.9716508 |
| XA-010HS1UI | 0.6524745 |
| XA-013HUI | 2.062001 |
| XA-037UI | 2.279646 |
| XB-012UI | 2.060279 |
| XB-021UI | 5.250495 |
| XB-033UI | 6.01192 |
| XB-035UI | 5.091334 |
| XC-043HUI | -3.973143 |
| YA-015UI | 9.966104 |
| YD-023HUI | 1.13443 |
| Z-003UI | 15.71066 |
| Z-004TI | 8.368603 |

3.3 Generación del Modelo de Pozo.

Se genera el modelo de pozo añadiendo la bomba BES, se realiza la codificación para obtener el modelo final del pozo utilizando la base de datos “Pump_Info” & survey”; el flujo de trabajo se describe en la Figura 26.

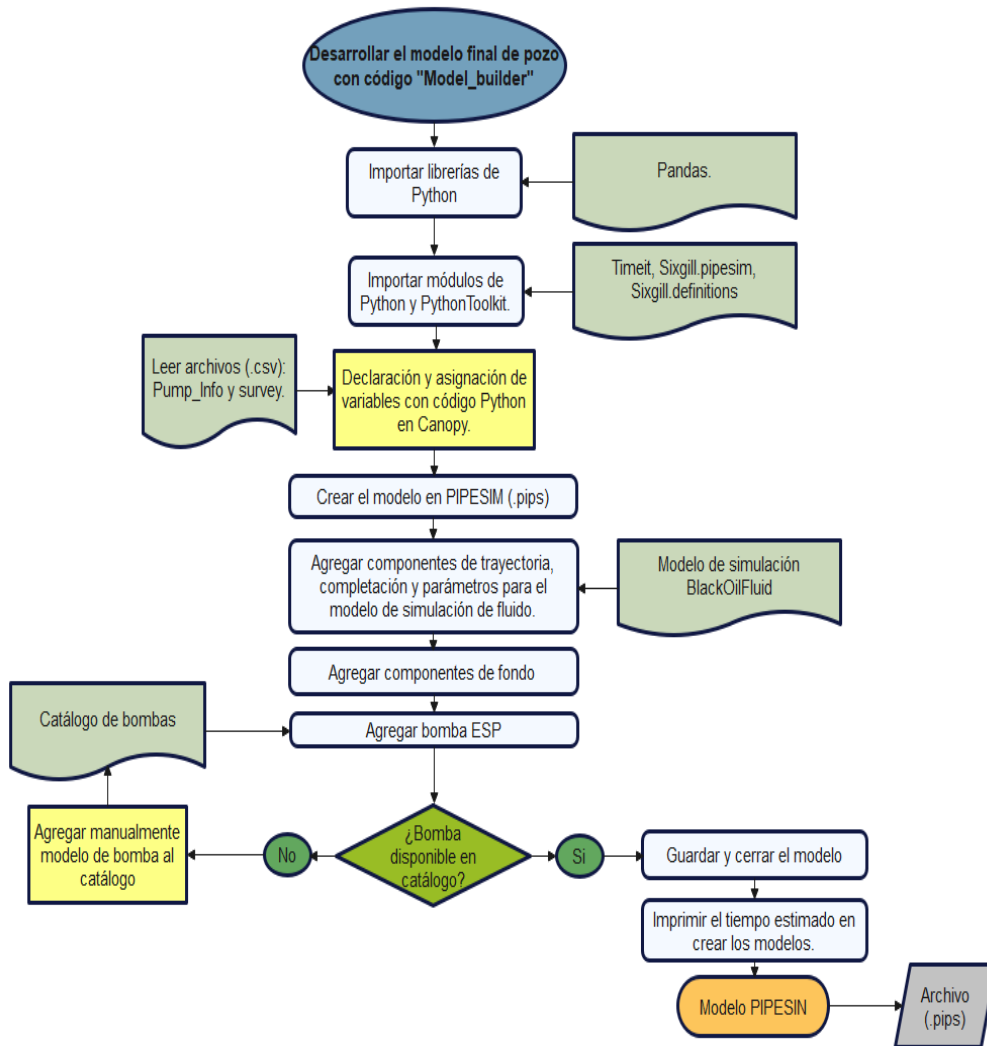


Figura 26. Diagrama de flujo para crear el modelo final de pozo con bomba BES mediante el código Model_builder.
Elaborado por: Lesly Rivera

Para generar los pozos con la información de profundidad de asentamiento de la bomba y profundidad de cada elemento del pozo se genera en Excel el cargador de datos “Pump_Info” como se muestra en la Tabla 4. El valor del daño será el obtenido a partir de la corrida del código “Skin Calibration”.

Tabla 4. Datos de cargador Pump_Info.
Elaborado por: Lesly Rivera

| WELL | CASING_START | CASING_END | CASING_ID | CASING_WT | CASING_DIAM | LINER_START | LINER_END | LINER_ID | LINER_WT | LINER_DIAM | TUBING_START | TUBING_END | TUBING_ID | TUBING_WT | ESP_TYPE |
|-------------|--------------|------------|-----------|-----------|-------------|-------------|-----------|----------|----------|------------|--------------|------------|-----------|-----------|----------|
| AB-057HI | 0 | 11610 | 6.276 | 0.362 | 8.5 | | | | | | 0 | 10098 | 2.992 | 0.254 | D460N |
| AC-063TI | 0 | 9801 | 8.535 | 0.545 | 12.5 | 9662 | 1009 | 6.276 | 0.362 | 8.5 | 0 | 9439 | 2.992 | 0.254 | SN3600 |
| AC-127TI | 0 | 10065 | 8.535 | 0.545 | 12.5 | 9870 | 1198 | 6.276 | 0.362 | 8.5 | 0 | 10245 | 2.992 | 0.254 | DN1750 |
| AC-165TI | 0 | 11060 | 8.535 | 0.545 | 12.5 | 10862 | 946 | 6.276 | 0.362 | 8.5 | 0 | 11313.44 | 2.992 | 0.254 | DN1750 |
| AC-170TI | 0 | 9256 | 8.535 | 0.545 | 12.5 | 9058 | 3387 | 6.276 | 0.362 | 8.5 | 0 | 11456.51 | 2.992 | 0.254 | DN1750 |
| XA-009TI | 0 | 10550 | 6.276 | 0.362 | 8.5 | | | | | | 0 | 9676.24 | 2.992 | 0.254 | D460N |
| XA-010HS1UI | 0 | 10820 | 6.276 | 0.362 | 8.5 | 9628 | 1612 | 4.276 | 0.362 | 6.25 | 0 | 8956.2 | 2.992 | 0.254 | DN1750 |
| XA-013HUI | 0 | 9176 | 8.535 | 0.545 | 12.5 | 9058 | 2955 | 6.276 | 0.362 | 8.5 | 0 | 8760.93 | 2.992 | 0.254 | DN1750 |
| XA-037UI | 0 | 11040 | 8.535 | 0.545 | 12.5 | 10874 | 714 | 6.276 | 0.362 | 8.5 | 0 | 10935.45 | 2.992 | 0.254 | D460N |
| XB-012UI | 0 | 10356 | 8.535 | 0.545 | 12.5 | 10027 | 938 | 6.276 | 0.362 | 8.5 | 0 | 9885.02 | 2.992 | 0.254 | DN1750 |
| XB-021UI | 0 | 10562 | 8.681 | 0.545 | 12.5 | 10380 | 808 | 6.276 | 0.362 | 8.5 | 0 | 10459.91 | 2.992 | 0.254 | D460N |
| XB-033UI | 0 | 10945 | 8.681 | 0.472 | 12.25 | 10776 | 749 | 6.276 | 0.362 | 8.5 | 0 | 10109 | 2.99 | 0.25 | DN1750 |
| XB-035UI | 0 | 11536 | 8.681 | 0.545 | 12.5 | 11389 | 583 | 6.276 | 0.362 | 8.5 | 0 | 11420 | 2.992 | 0.254 | D460N |
| XC-043HUI | 0 | 9874 | 8.681 | 0.472 | 12.25 | 9643 | 1217 | 6.276 | 0.362 | 8.5 | 0 | 8114 | 2.99 | 0.25 | DN1750 |
| YA-015UI | 0 | 10445 | 6.276 | 0.362 | 8.535 | | | | | | 0 | 9724 | 2.992 | 0.254 | D460N |
| YD-023HUI | 0 | 10215 | 8.535 | 0.362 | 12.5 | 10056 | 1454 | 6.276 | 0.362 | 8.5 | 0 | 9989 | 2.99 | 0.25 | SN2600 |
| Z-003UI | 0 | 10082 | 8.681 | 0.472 | 12.25 | 9944 | 10782 | 6.276 | 0.362 | 8.5 | 0 | 9914 | 2.992 | 0.254 | D460N |
| Z-004TI | 0 | 11670 | 8.681 | 0.472 | 12.25 | 11472 | 12380 | 6.276 | 0.362 | 8.5 | 0 | 11684 | 2.992 | 0.254 | DN1750 |

| WELL | ESP_STAGES | CPL_START | CPL_PR | CPL_TR | CPL_THICKNESS | CPL_K | CPL_S | LIQUID | WCUT | GOR | API | FREQ | WHP | PWF | BRCH | PWF_OBJAVOCET |
|-------------|------------|-----------|---------|--------|---------------|----------|------------|--------|------|--------|------|------|-----|-------------|------------------------|---------------|
| AB-057HI | 230 | 10527 | 1700 | 236 | 10 | 614 | 5.621881 | 755 | 74 | 9.02 | 27.6 | 77.5 | 110 | 741.31 | AB-057HI - Wellhead | 450 |
| AC-063TI | 184 | 10307.5 | 1490.51 | 220 | 55.946 | 519.24 | 9.326328 | 1944 | 89 | 229 | 22.4 | 59 | 20 | 838.46 | AC-063TI - Wellhead | 676.26 |
| AC-127TI | 444 | 10685 | 1481 | 220 | 60.337 | 83 | -1.867956 | 1334 | 88 | 229.01 | 23.9 | 61 | 30 | 476.25 | AC-127TI - Wellhead | 620 |
| AC-165TI | 468 | 11558.5 | 1427.21 | 220 | 73.358 | 113.289 | 5.244057 | 780 | 86 | 229.03 | 23.3 | 56 | 30 | 654.16 | AC-165TI - Wellhead | 477.43 |
| AC-170TI | 468 | 12172.5 | 1478.77 | 220 | 78.99 | 160 | 3.275128 | 1446 | 87 | 229.01 | 22.1 | 57 | 20 | 661.89 | AC-170TI - Wellhead | 779.3 |
| XA-009TI | 340 | 9952 | 2064 | 226 | 8 | 55 | -0.9716508 | 174 | 3 | 150 | 26.3 | 48.5 | 60 | 376.88 | XA-009TI - Wellhead | 450 |
| XA-010HS1UI | 468 | 11086 | 1387.94 | 220 | 28 | 254 | 0.6524745 | 584 | 24 | 163 | 18.5 | 57.6 | 120 | 443.1 | XA-010HS1UI - Wellhead | 510 |
| XA-013HUI | 468 | 11416.5 | 1431.4 | 220 | 53 | 213 | 2.062001 | 1099 | 1 | 150 | 19.8 | 57 | 200 | 556.81 | XA-013HUI - Wellhead | 550 |
| XA-037UI | 274 | 11176.5 | 1551.98 | 220 | 30.91 | 77 | 2.279646 | 228 | 36 | 160 | 19.1 | 61 | 105 | 291.15 | XA-037UI - Wellhead | 287 |
| XB-012UI | 468 | 10436.5 | 1343.15 | 220 | 46.25 | 330 | 2.060279 | 1365 | 65 | 160 | 20.1 | 61 | 25 | 384.7847534 | XB-012UI - Wellhead | 330 |
| XB-021UI | 288 | 10756.5 | 1283.91 | 220 | 36 | 125.2333 | 5.250495 | 406 | 90 | 160 | 17.8 | 57 | 260 | 340.0720655 | XB-021UI - Wellhead | 300 |
| XB-033UI | 468 | 11089 | 1095.7 | 220 | 65.37 | 482 | 6.01192 | 1060 | 48 | 160 | 18.6 | 51 | 25 | 514.7659761 | XB-033UI - Wellhead | 280 |
| XB-035UI | 328 | 11731.5 | 1249.52 | 220 | 40 | 65 | 5.091334 | 145 | 3 | 160 | 18.5 | 52 | 100 | 291.3196234 | XB-035UI - Wellhead | 240 |
| XC-043HUI | 468 | 10640 | 1500 | 220 | 31.48 | 481.68 | -3.973143 | 1720 | 64 | 163 | 17.8 | 56 | 160 | 1101.26 | XC-043HUI - Wellhead | 1185 |
| YA-015UI | 328 | 9888 | 1500 | 224 | 37 | 155 | 9.966104 | 340 | 64 | 146.98 | 18.7 | 57.5 | 130 | 370.95 | YA-015UI - Wellhead | 380 |
| YD-023HUI | 170 | 11121 | 1201.41 | 224 | 36.62 | 1115.95 | 1.13443 | 2040 | 44 | 147 | 18.5 | 64.7 | 200 | 692.1 | YD-023HUI - Wellhead | 700 |
| Z-003UI | 492 | 10193.5 | 1820 | 220 | 33.5 | 90 | 15.71066 | 162 | 3 | 145.98 | 18.3 | 43 | 30 | 415.16 | Z-003UI - Wellhead | 275 |
| Z-004TI | 404 | 12110 | 1729 | 226 | 19.76 | 150 | 8.368603 | 444 | 6 | 123.01 | 27.1 | 54.5 | 150 | 306.44 | Z-004TI - Wellhead | 450 |

El código "Model_builder" empieza con la importación de las librerías de Pandas y Python Toolkit junto con el tiempo de ejecución; se procede a importar los componentes, parámetros y constantes que serán utilizados más adelante en los *keywords* del modelo.

En la Figura 27 se observa a modo de ejemplo el fragmento de código para importar las librerías. Cabe mencionar que el código no se encuentra adjunto por cuestiones de confidencialidad con la empresa.

```
from sixgill.pipesim import Model
from sixgill.definitions import ModelComponents, Parameters, Constants
import pandas as pd
from timeit import default_timer as timer
```

Figura 27. Librerías, módulos y funciones importadas de Pandas y Python Toolkit.
Fuente: Canopy versión 2.1.9.30

Los valores que se encuentran en el archivo Excel son cargados en PIPESIM con la corrida del código mediante las librerías de Pandas, la trayectoria del pozo se maneja como arreglo, es decir, se asigna a un “DataFrame”.

A continuación, se define las variables que se van a utilizar en el código; cada una debe estar asignada a una clase. Se debe acceder a los parámetros de los componentes los mismos que permiten leer y escribir los valores respectivamente en PIPESIM.

Se define los parámetros dentro del modelo utilizando las clases respectivas dependiendo de los valores a ser ingresados; para esta acción se utiliza las siguientes clases:

- **WellTrajectory:** Se refiere a la carga de los datos referentes a la trayectoria del pozo tanto en *measured depth* (MD) como *true vertical depth* (TVD). En la Figura 28 se puede observar los datos cargados en PIPESIM a partir de la ejecución del código.

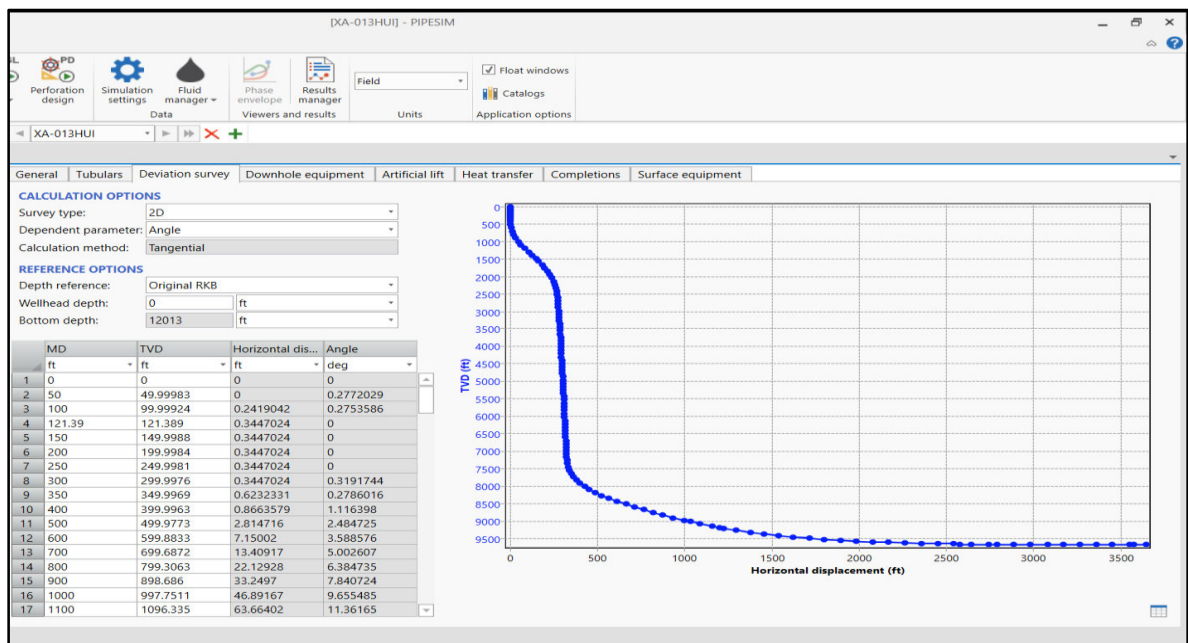


Figura 28. Datos de Survey cargados en PIPESIM a partir de la ejecución del código.
Fuente: Software PIPESIM 2019.1-Schlumberger

- **BlackOilFluid:** Carga los valores respectivos de las propiedades del fluido que son: corte de agua (WATERCUT), relación gas-petróleo (GOR) y la gravedad específica del petróleo (API). En la Figura 29 se puede observar los componentes cargados en PIPESIM una vez que se ejecuta el código.

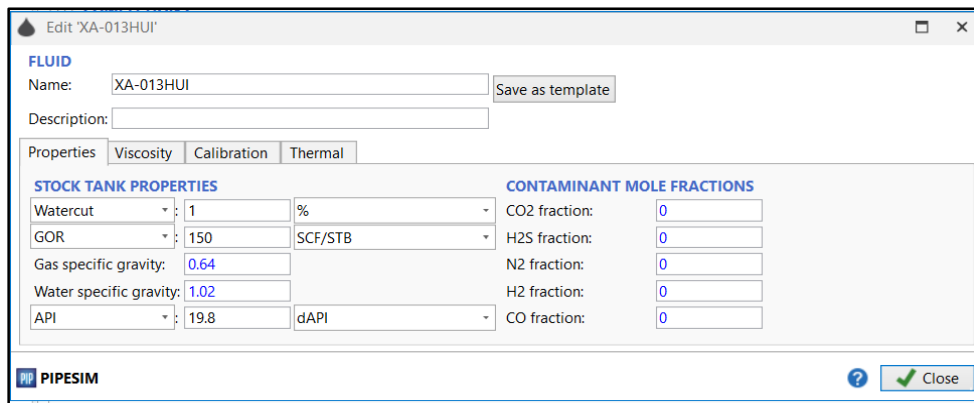


Figura 29. Componentes de Black Oil Fluid cargados en PIPESIM a partir de la corrida del código.
Fuente: Software PIPESIM 2019.1-Schlumberger

- **Casing:** Carga los valores del casing de producción, para generar el modelo, el software PIPESIM requiere de los siguientes datos: tope, la profundidad total, el diámetro interno, diámetro del hoyo y el espesor. En la Figura 30 se puede observar el diagrama generado en PIPESIM después de ser corrido el código.

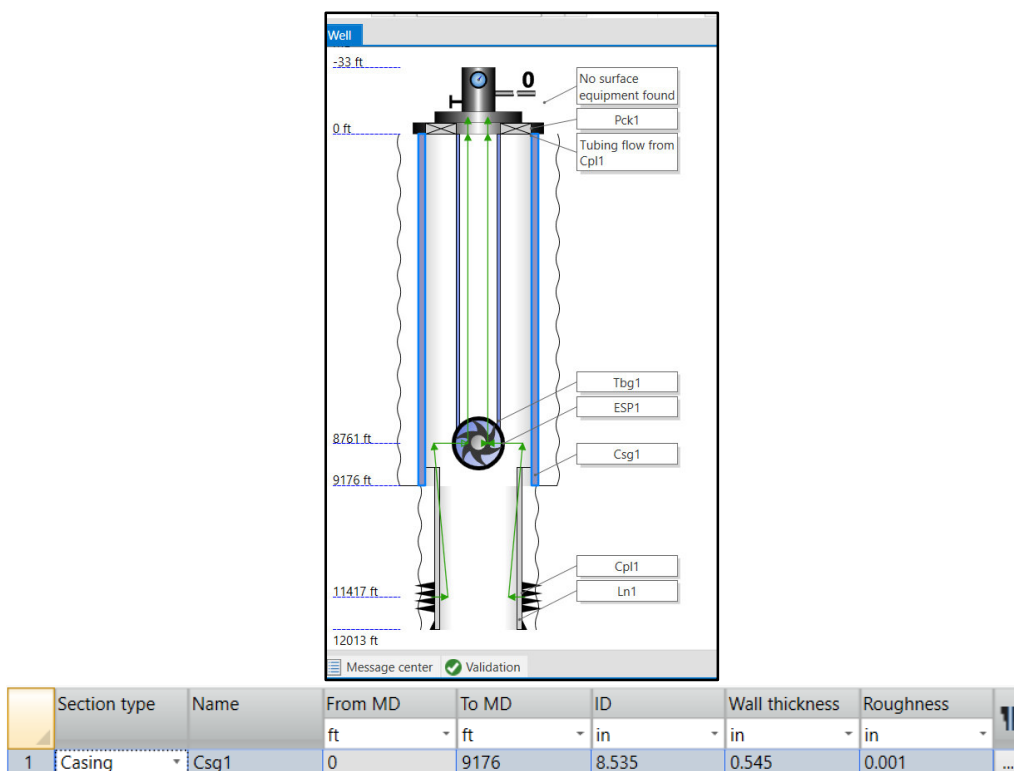
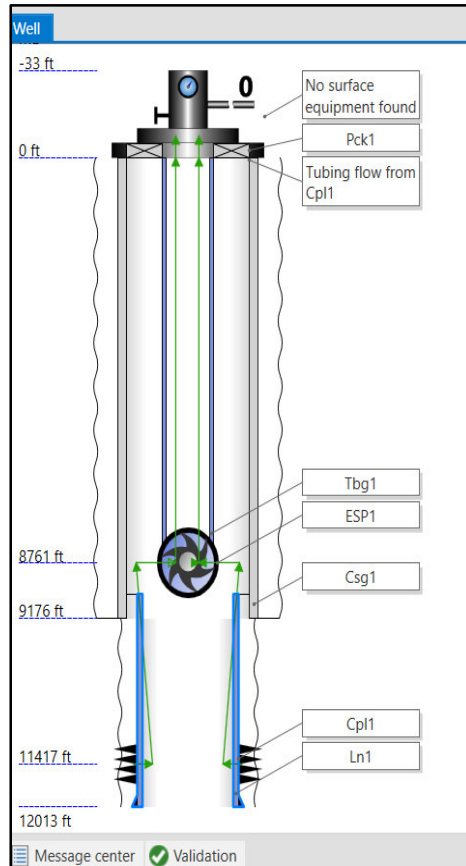


Figura 30. Casing generado en PIPESIM a partir de la corrida del código.
Fuente: Software PIPESIM 2019.1-Schlumberger

- **Liner:** Carga los valores del liner, para generar el modelo, el software PIPESIM requiere de los siguientes datos: tope, la profundidad total, el diámetro interno,

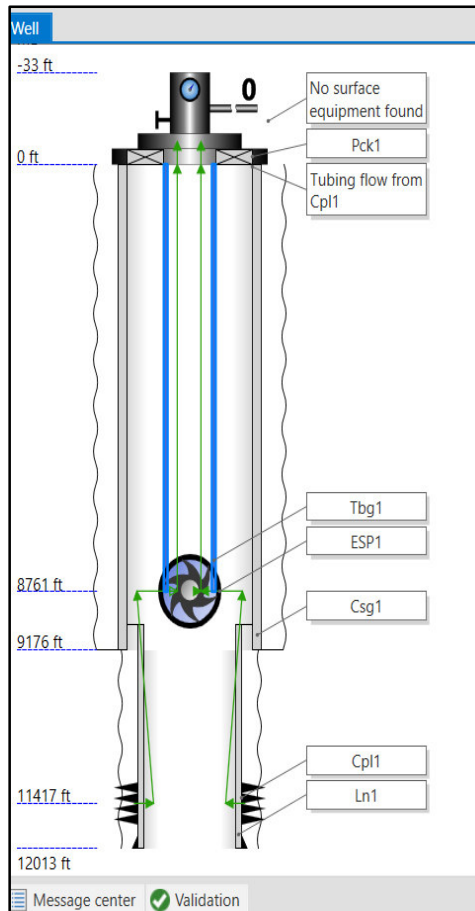
diámetro del hoyo y el espesor. En la Figura 31 se puede observar el diagrama generado en PIPESIM después de ser corrido el código.



| | Section type | Name | From MD | To MD | ID | Wall thickness | Roughness | |
|---|--------------|------|---------|-------|-------|----------------|-----------|-----|
| | | | ft | ft | in | in | in | |
| 1 | Casing | Csg1 | 0 | 9176 | 8.535 | 0.545 | 0.001 | ... |
| 2 | Liner | Ln1 | 9058 | 12013 | 6.276 | 0.362 | 0.001 | ... |
| + | | | | | | | | |

Figura 31. Liner generado en PIPESIM a partir de la corrida del código.
Fuente: Software PIPESIM 2019.1-Schlumberger

- **Tubing:** Carga los valores de tubing, para generar el modelo, el software PIPESIM requiere de los siguientes datos: tope, la profundidad total, el diámetro interno y el espesor. En la Figura 32 se puede observar el diagrama generado en PIPESIM después de ser corrido el código.



| | Name | To MD | ID | Wall thickness | Roughness | |
|---|------|---------|-------|----------------|-----------|-----|
| | | ft | in | in | in | |
| 1 | Tbg1 | 8760.93 | 2.992 | 0.254 | 0.001 | ... |
| + | | | | | | |

Figura 32. Tubing generado en PIPESIM a partir de la corrida del código.
Fuente: Software PIPESIM 2019.1-Schlumberger

- **BES:** Permite cargar los datos del equipo BES dentro de PIPESIM. El equipo debe tener configurada la bomba con el Fabricante y Modelo para que se pueda identificar la entrada en el catálogo. Fallará si se encuentra más de un elemento en el contexto.

Los datos que se debe ingresar son: profundidad a la que se encuentra ubicada la BES, tipo de bomba, modelo, frecuencia de operación, factor de cabeza, factor de flujo y número de etapas. En la Figura 33 se puede observar la bomba BES generada en PIPESIM después de ejecutar el código.

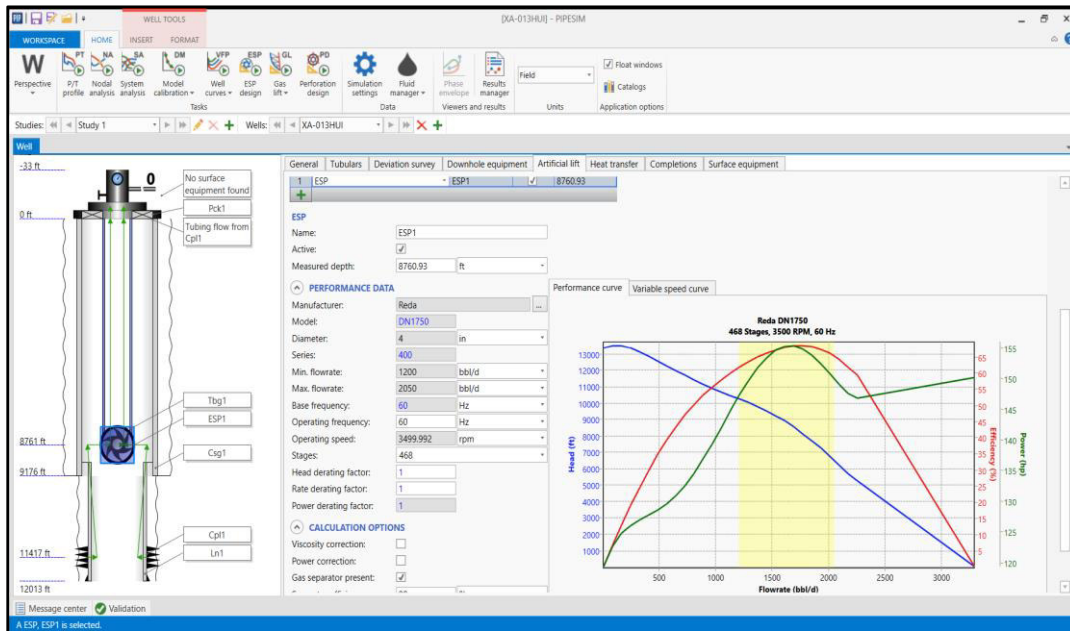


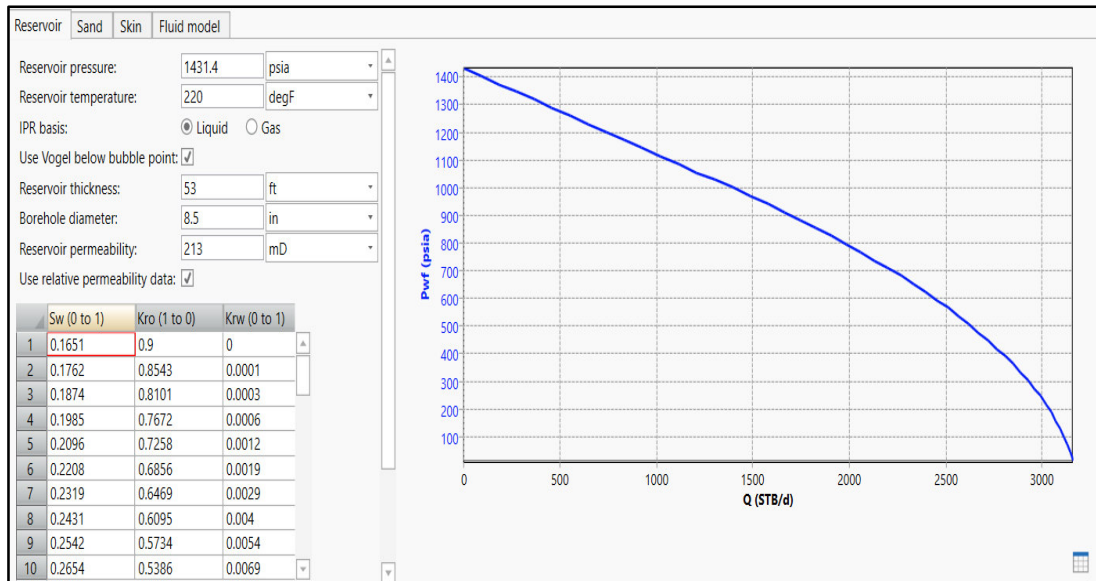
Figura 33. Equipo BES cargado en PIPESIM a partir de la corrida del código.
Fuente: Software PIPESIM 2019.1-Schlumberger

- **Completion:** Permite cargar datos de presión y temperatura del reservorio. En la Figura 34 se puede observar los valores en PIPESIM después de ejecutar el código.

| Reservoir | Sand | Skin | Fluid model |
|------------------------|--------|------|-------------|
| Reservoir pressure: | 1431.4 | psia | |
| Reservoir temperature: | 220 | degF | |

Figura 34. Carga de los datos de reservorio en PIPESIM a partir de la corrida del código.
Fuente: Software PIPESIM 2019.1-Schlumberger

- **IPRDarcy:** Se genera la curva IPR del modelo de cada pozo. Los valores que se necesitan son: daño, permeabilidad, espesor de arena, y habilitar la opción de “USEVOGELBELOWBUBBLEPOINT”. Ver Figura 35.



The 'Skin' tab in PIPESIM shows the following options:

- Mechanical skin:** Specify Calculate. Value: 2.062001
- Rate dependent skin:** Specify Calculate. Value: 0, Unit: d/STB

Figura 35. Carga de los datos para la creación de la curva IPR por el método de Darcy en PIPESIM a partir de la corrida del código.
Fuente: Software PIPESIM 2019.1-Schlumberger

De esta manera se genera el modelo de pozo en PIPESIM mediante codificación, posteriormente se abre los archivos generados y se procede a cargar de manera manual los datos de permeabilidades relativas. Finalmente se guarda y se cierra el modelo.

3.4 Calibración de la Bomba BES.

Para generar el modelo de pozo con la bomba BES, se procede a elaborar el código "Calibration" utilizando la base de datos "Pump_Info"; En la Figura 36 se puede observar el flujo de trabajo que servirá como base para el desarrollo del código.

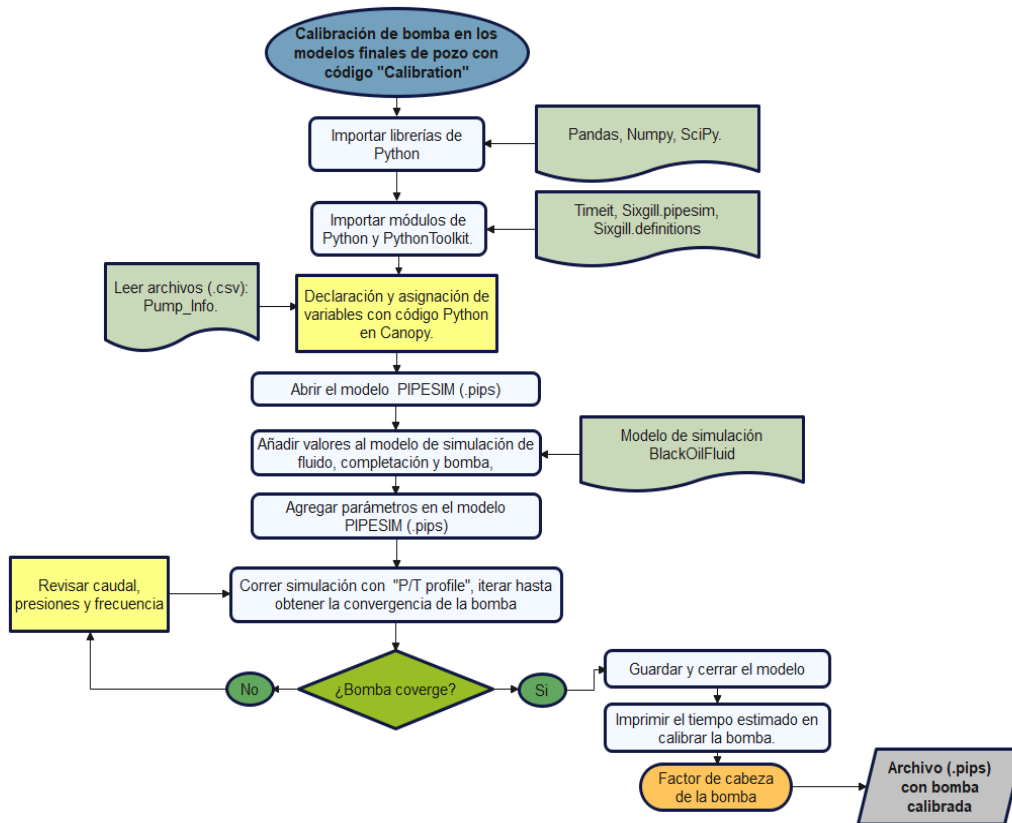


Figura 36. Diagrama de flujo para el desarrollo del código Calibration.
Elaborado por: Lesly Rivera

Se trabaja sobre el modelo creado anteriormente con el código "Model_builder". La codificación comienza con la importación de las librerías de Python Toolkit, Pandas, Numpy y el tiempo de ejecución del código; se define los parámetros y constantes que serán utilizadas en los *keywords*, para la construcción del modelo de cada uno de los pozos.

En la Figura 37 se presenta un fragmento del código a modo de ejemplo, por temas de confidencialidad con la empresa no se anexa el código completo.

```

from sixgill.pipesim import Model
from sixgill.definitions import Parameters
import pandas as pd
import numpy as np
from scipy.interpolate import interp1d
from timeit import default_timer as timer
  
```

Figura 37. Librerías, módulos y funciones importadas de Python Toolkit, Pandas y Numpy.
Fuente: Canopy versión 2.1.9.30

Los valores que se encuentran en el archivo de datos “Pump_Info” de Excel se los lee con las librerías de Pandas. A continuación, se define las variables que van a ser utilizadas en el código; cada una debe estar asignada a una clase.

Se debe acceder a los parámetros de los componentes a través de los métodos “get_value() & set_value()”. Con los parámetros definidos, se puede enlazar correctamente las clases para acceder a cada función del software; de esta manera, se está asegurando que todos los valores que se encuentran en Excel sean ingresados correctamente en el software PIPESIM para generar el modelo de cada pozo.

La bomba debe ser calibrada mediante la sensibilidad a las condiciones de: presión en cabeza, frecuencia a la que está trabajando y el caudal de líquido que aporta cada pozo; el método a utilizar será el perfil de Presión/Temperatura; el resultado de la simulación se verá reflejado en el factor de cabeza de la bomba (*well head factor*) y el tiempo que tardó en calibrarse.

El perfil de Presión/Temperatura permite factorizar la eficiencia y ajustar el cabezal de la bomba (predeterminado =1) para que coincida mejor con los datos de rendimiento del pozo o a su vez tener en cuenta el desgaste e ineficiencias que se pueda estar teniendo en el sistema.

En la Figura 38 se puede observar la corrida del código y la impresión en la interfaz de Canopy del tiempo que se tarda la codificación en generar el modelo y obtener los valores del factor de cabeza mediante la sensibilización de la bomba BES para cada pozo.

```
In [2]: %run "c:\users\usuario\appdata\local\temp\tmpvsaly3.py"
INFO:manta.server.manager:Starting PIPESIM server on thread ID: 27732
INFO:manta.server.manager:Waiting for PIPESIM server to start and Python_Toolkit license check out.
INFO:sixgill.core.metadata:Using cached metadata for 'http://localhost:59728/api/metadata#'
WARNING:sixgill.core.catalog:Computing context for node "Node?id=metadata%23Model_2017.1*2712" (8)
INFO:sixgill.core.simulations:Simulation is running.
INFO:sixgill.core.simulations:Simulation is finished.
INFO:sixgill.core.simulations:Simulation run successfully.
INFO:sixgill.core.simulations:Simulation is running.
INFO:sixgill.core.simulations:Simulation is running.
INFO:sixgill.core.simulations:Simulation is running.
INFO:sixgill.core.simulations:Simulation is running.
INFO:sixgill.core.simulations:Simulation is finished.
INFO:sixgill.core.simulations:Simulation run successfully.
INFO:sixgill.core.simulations:Simulation is running.
INFO:sixgill.core.simulations:Simulation is running.
INFO:sixgill.core.simulations:Simulation is running.
INFO:sixgill.core.simulations:Simulation is finished.
INFO:sixgill.core.simulations:Simulation run successfully.
1098.997515536248 0.9981498634149822
333.66586370000005
```

Figura 38. Tiempo y factor de cabeza de la bomba con la simulación del perfil de Presión/Temperatura.
Fuente: Canopy versión 2.1.9.30

En la Figura 39 se observa el archivo PIPESIM generado a partir de la corrida del código, el modelo se genera con los datos que se encuentran cargados en el archivo Excel, el diagrama de pozo cuenta con profundidades de casing y tubing y con el funcionamiento de la bomba BES. Se puede observar que el factor de cabeza se obtiene con la sensibilización de la bomba.

Con la ejecución del código se aprecia que no existen ineficiencias en el trabajo que está desempeñando la bomba en el pozo y que el rendimiento es óptimo para seguir trabajando en el campo. Finalmente se guarda y cierra el modelo.

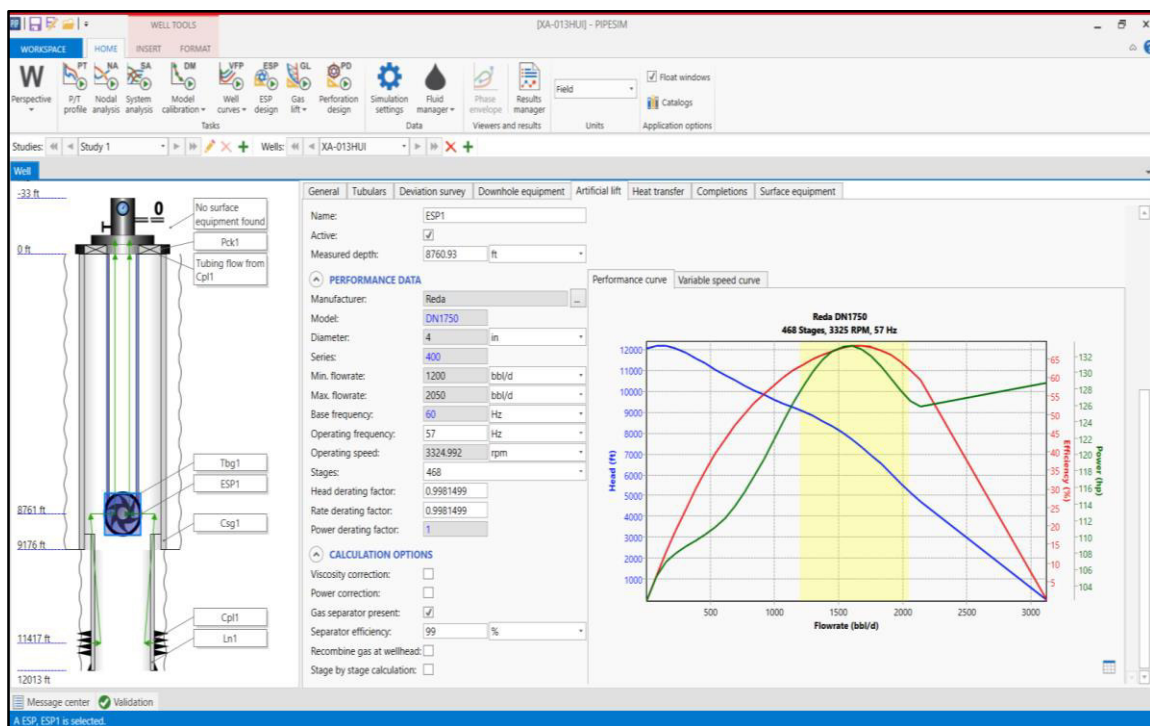


Figura 39. Archivo PIPESIM con Bomba BES calibrada a partir de la corrida del código.
Fuente: Software PIPESIM 2019.1-Schlumberger

3.5 Obtención de Presiones y Caudales para cada Punto del Modelo de Choke.

La Figura 40 describe el flujo de trabajo que se utilizará para generar el código “Nodal_ACD” de los puntos nodales (A, C y D), cabe mencionar que por cuestiones de confidencialidad con la empresa el código no puede ser publicado.

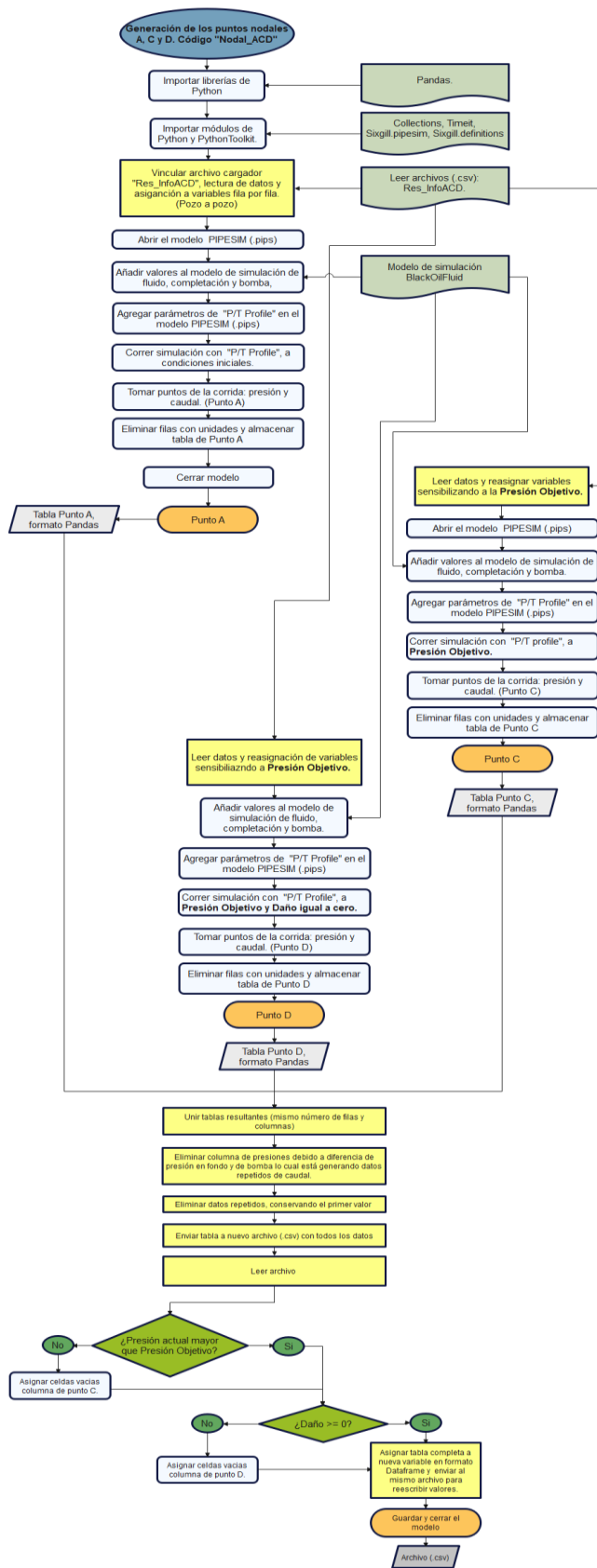


Figura 40. Diagrama de flujo para los puntos nodales A, C y D.
Elaborado por: Lesly Rivera

3.5.1 Caso Base, punto A

El caso base representa la producción más las perdidas calculadas a lo largo de la línea de producción dando como resultado el “*Lowest Maximum Production Potential*”. Se puede realizar un control de calidad de la simulación, comparando los resultados obtenidos con los datos de producción, obteniendo el ajuste correcto para el modelo.

Para el punto A las presiones y caudales están dadas a partir de las condiciones iniciales en la que está operando cada pozo, el código “Nodal_ACD” permitirá ejecutar la simulación del perfil de Presión/Temperatura en PIPESIM. Los resultados que se obtenga de la simulación serán trasladados a un documento Excel.

La base de datos a utilizar se encuentra en un archivo Excel llamado “Res_InfoACD”, el cargador se lo puede ver en la Tabla 5. Los valores del cargador son los mismos del archivo “Res_Info” cambiando el valor del daño por los valores que se encuentran en la Tabla 3 obtenidos a partir de la corrida del código “Skin Calibration”.

Tabla 5. Datos del cargador Res_InfoACD.
Elaborado por: Lesly Rivera

| WELL | CASING_START | CASING_END | CASING_ID | CASING_WT | CASING_DIAM | LINER_START | LINER_END | LINER_ID | LINER_WT | LINER_DIAM | TUBING_START | TUBING_END | TUBING_ID | TUBING_WT | ESP_TYPE |
|-------------|--------------|------------|-----------|-----------|-------------|-------------|-----------|----------|----------|------------|--------------|------------|-----------|-----------|----------|
| AB-057HI | 0 | 15 | 6.28 | 0.36 | 10 | | | | | | 0 | 5 | 2.99 | 0.25 | |
| AC-063TI | 0 | 15 | 6.28 | 0.36 | 10 | | | | | | 0 | 5 | 2.99 | 0.25 | |
| AC-127TI | 0 | 15 | 6.28 | 0.36 | 10 | | | | | | 0 | 5 | 2.99 | 0.25 | |
| AC-165TI | 0 | 15 | 6.28 | 0.36 | 10 | | | | | | 0 | 5 | 2.99 | 0.25 | |
| AC-170TI | 0 | 15 | 6.28 | 0.36 | 10 | | | | | | 0 | 5 | 2.99 | 0.25 | |
| XA-009TI | 0 | 15 | 6.28 | 0.36 | 10 | | | | | | 0 | 5 | 2.99 | 0.25 | |
| XA-010HS1UI | 0 | 15 | 6.28 | 0.36 | 10 | | | | | | 0 | 5 | 2.99 | 0.25 | |
| XA-013HUI | 0 | 15 | 6.28 | 0.36 | 10 | | | | | | 0 | 5 | 2.99 | 0.25 | |
| XA-037UI | 0 | 15 | 6.28 | 0.36 | 10 | | | | | | 0 | 5 | 2.99 | 0.25 | |
| XB-012UI | 0 | 15 | 6.28 | 0.36 | 10 | | | | | | 0 | 5 | 2.99 | 0.25 | |
| XB-021UI | 0 | 15 | 6.28 | 0.36 | 10 | | | | | | 0 | 5 | 2.99 | 0.25 | |
| XB-033UI | 0 | 15 | 6.28 | 0.36 | 10 | | | | | | 0 | 5 | 2.99 | 0.25 | |
| XB-035UI | 0 | 15 | 6.28 | 0.36 | 10 | | | | | | 0 | 5 | 2.99 | 0.25 | |
| XC-043HUI | 0 | 15 | 6.28 | 0.36 | 10 | | | | | | 0 | 5 | 2.99 | 0.25 | |
| YA-015UI | 0 | 15 | 6.28 | 0.36 | 10 | | | | | | 0 | 5 | 2.99 | 0.25 | |
| YD-023HUI | 0 | 15 | 6.28 | 0.36 | 10 | | | | | | 0 | 5 | 2.99 | 0.25 | |
| Z-003UI | 0 | 15 | 6.28 | 0.36 | 10 | | | | | | 0 | 5 | 2.99 | 0.25 | |
| Z-004TI | 0 | 15 | 6.28 | 0.36 | 10 | | | | | | 0 | 5 | 2.99 | 0.25 | |

| WELL | ESP_STAGES | CPL_START | CPL_PR | CPL_TR | CPL_THICKNESS | CPL_K | CPL_S | LIQUID | WCUT | GOR | API | FREQ | WHP | PWF | BRCH | PWF_OBJAVOCET |
|-------------|------------|-----------|---------|--------|---------------|--------|---------|--------|------|--------|------|------|-----|-------------|------------------------|---------------|
| AB-057HI | | 10 | 1700 | 236 | 10 | 614 | 5.6219 | 755 | 74 | 9.02 | 27.6 | 77.5 | 110 | 741.31 | AB-057HI - Wellhead | 450 |
| AC-063TI | | 10 | 1490.51 | 220 | 55.946 | 519.24 | 9.3263 | 1944 | 89 | 229 | 22.4 | 59 | 20 | 838.46 | AC-063TI - Wellhead | 676.26 |
| AC-127TI | | 10 | 1481 | 220 | 60.337 | 83 | -1.868 | 1334 | 88 | 229.01 | 23.9 | 61 | 30 | 476.25 | AC-127TI - Wellhead | 620 |
| AC-165TI | | 10 | 1427.21 | 220 | 73.358 | 113.29 | 5.2441 | 780 | 86 | 229.03 | 23.3 | 56 | 30 | 654.16 | AC-165TI - Wellhead | 477.43 |
| AC-170TI | | 10 | 1478.77 | 220 | 78.99 | 160 | 3.2751 | 1446 | 87 | 229.01 | 22.1 | 57 | 20 | 661.89 | AC-170TI - Wellhead | 779.3 |
| XA-009TI | | 10 | 2064 | 226 | 8 | 55 | -0.9717 | 174 | 3 | 150 | 26.3 | 48.5 | 60 | 376.88 | XA-009TI - Wellhead | 450 |
| XA-010HS1UI | | 10 | 1387.94 | 220 | 28 | 254 | 0.6525 | 584 | 24 | 163 | 18.5 | 57.6 | 120 | 443.1 | XA-010HS1UI - Wellhead | 510 |
| XA-013HUI | | 10 | 1431.4 | 220 | 53 | 213 | 2.062 | 1099 | 1 | 150 | 19.8 | 57 | 200 | 556.81 | XA-013HUI - Wellhead | 550 |
| XA-037UI | | 10 | 1551.98 | 220 | 30.91 | 77 | 2.2796 | 228 | 36 | 160 | 19.1 | 61 | 105 | 291.15 | XA-037UI - Wellhead | 287 |
| XB-012UI | | 10 | 1343.15 | 220 | 46.25 | 330 | 2.0603 | 1365 | 65 | 160 | 20.1 | 61 | 25 | 384.7847534 | XB-012UI - Wellhead | 330 |
| XB-021UI | | 10 | 1283.91 | 220 | 36 | 125.23 | 5.2505 | 406 | 90 | 160 | 17.8 | 57 | 260 | 340.0720655 | XB-021UI - Wellhead | 300 |
| XB-033UI | | 10 | 1095.7 | 220 | 65.37 | 482 | 6.0119 | 1060 | 48 | 160 | 18.6 | 51 | 25 | 514.7659761 | XB-033UI - Wellhead | 280 |
| XB-035UI | | 10 | 1249.52 | 220 | 40 | 65 | 5.0913 | 145 | 3 | 160 | 18.5 | 52 | 100 | 291.3196234 | XB-035UI - Wellhead | 240 |
| XC-043HUI | | 10 | 1500 | 220 | 31.48 | 481.68 | -3.9731 | 1720 | 64 | 163 | 17.8 | 56 | 160 | 1101.26 | XC-043HUI - Wellhead | 1185 |
| YA-015UI | | 10 | 1500 | 224 | 37 | 155 | 9.9661 | 340 | 64 | 146.98 | 18.7 | 57.5 | 130 | 370.95 | YA-015UI - Wellhead | 380 |
| YD-023HUI | | 10 | 1201.41 | 224 | 36.62 | 1116 | 1.1344 | 2040 | 44 | 147 | 18.5 | 64.7 | 200 | 692.1 | YD-023HUI - Wellhead | 700 |
| Z-003UI | | 10 | 1820 | 220 | 33.5 | 90 | 15.711 | 162 | 3 | 145.98 | 18.3 | 43 | 30 | 415.16 | Z-003UI - Wellhead | 275 |
| Z-004TI | | 10 | 1729 | 226 | 19.76 | 150 | 8.3686 | 444 | 6 | 123.01 | 27.1 | 54.5 | 150 | 306.44 | Z-004TI - Wellhead | 450 |

3.5.2 Caso I, punto C

Una vez obtenido el punto A el código correrá la simulación en PIPESIM con el método del perfil de Presión/Temperatura para obtener el punto C; utilizando los datos del cargador "Res_InfoACD".

La *Outlet Pressure* que utilizará el modelo será la Presión Objetivo asignada para cada pozo, dicha presión es un dato generado a partir de los reservoristas en campo, puesto que, para establecer la presión se debe analizar todas las condiciones en la que cada pozo está trabajando y en base a ello se debe generar una reducción en la presión, la misma que no debe ser menor a la presión de burbuja (P_b) para resguardar la integridad de cada pozo.

Se debe tener cuidado en el valor de la presión generada, ya que, trabajar con una presión extremadamente baja provocará que el pozo opere con un nivel de fluido dinámico menor a la profundidad de asentamiento de la bomba BES y esto a su vez genera un problema en el motor siendo propenso a quemarse.

Se conoce que la eficiencia de trabajo del equipo BES se basa en tener un nivel de fluido que le permita generar enfriamiento al sistema, además, que se estará trabajando por debajo de la presión de burbuja lo cual generará cavitación en las bombas BES.

El código posee un condicional que muestra los resultados obtenidos si cumple la condición: Presión Objetivo menor que la presión con la que está trabajando el pozo. De esta manera se conoce los pozos que son candidatos para ser optimizados.

3.5.3 Caso II, punto D

El punto D hace referencia a un trabajo de reacondicionamiento en el pozo para remover el daño de formación permitiendo restituir las condiciones naturales de producción.

El código de manera automática realiza la simulación del perfil Presión/Temperatura con los datos que se tienen en el cargador "Res_InfoACD"; el valor del daño con el que se correrá el modelo se encuentra programado al valor de cero haciendo referencia a los resultados que se obtendrían al remover el daño de formación; cabe mencionar que el código será ejecutado con la presión objetivo que fue establecida para el punto C.

Los pozos que carecen de daño hacen referencia a un trabajo de estimulación en la arena, para dichos pozos el código está diseñado para no mapear los resultados y

continuar con los siguientes, los datos obtenidos serán solo de los pozos que tengan un daño de formación mayor a cero, de esta manera se podrá conocer las oportunidades que se tiene en la optimización de la producción.

3.6 Elaboración de Diagramas de Choke en Power BI.

Después de haber desarrollado el código para obtener los puntos A, C y D se procede a desarrollar el modelo de choke; los valores de los puntos de cada pozo se los almacena en un cargador de Excel para luego proceder a armar los diagramas en Power BI. En la Figura 41 se encuentra detallado el proceso.

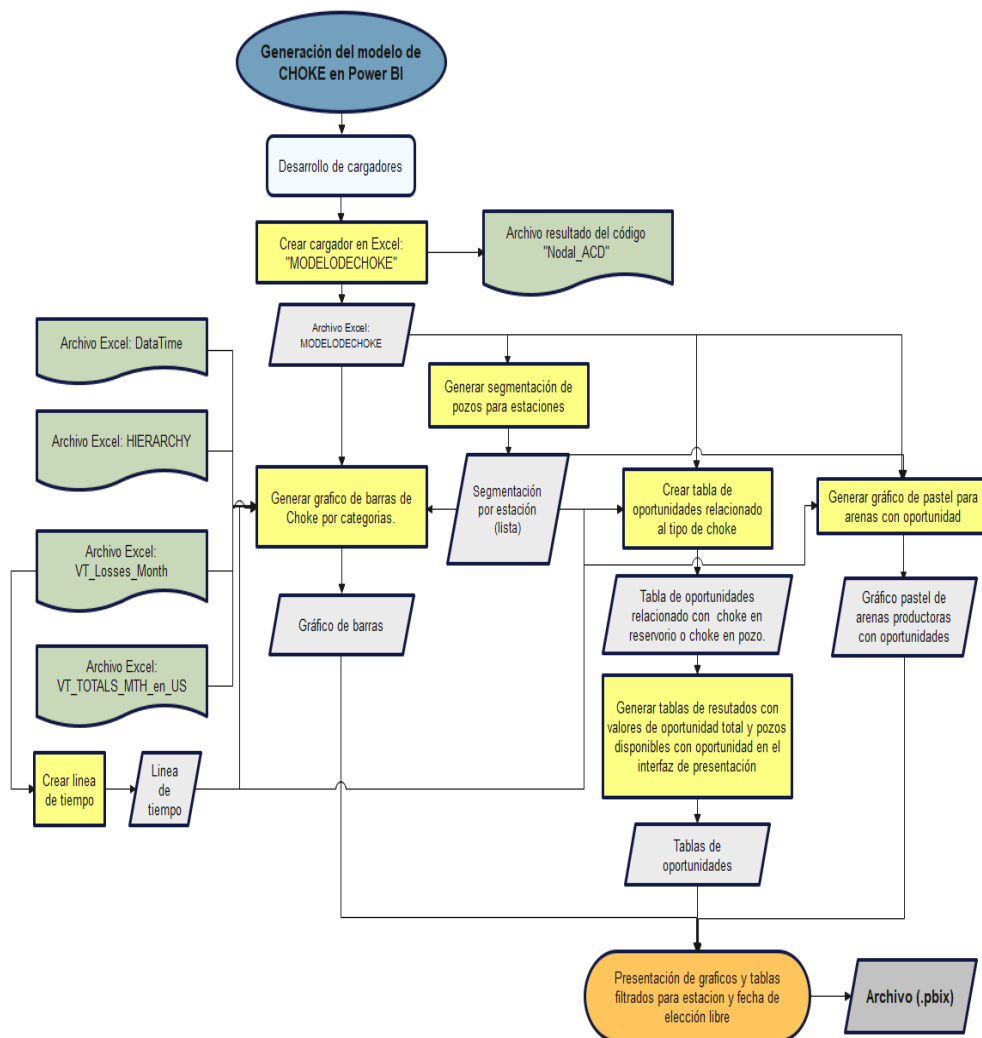


Figura 41. Diagrama de flujo para modelo de choke en Power BI.
Elaborado por: Lesly Rivera

Se optó trabajar en Power BI ya que es una herramienta que permite visualizar datos, diagramas y gráficos de una manera más versátil e interactiva, también se puede elaborar informes personalizados dando paso a una mejor comprensión al momento de presentar los resultados. Además, con toda la información que se va actualizando instantáneamente se puede tomar decisiones acertadas y crear una mejor interacción en los entornos de trabajo.

En la Figura 42 se puede observar el modelo de choke generado en Power BI.

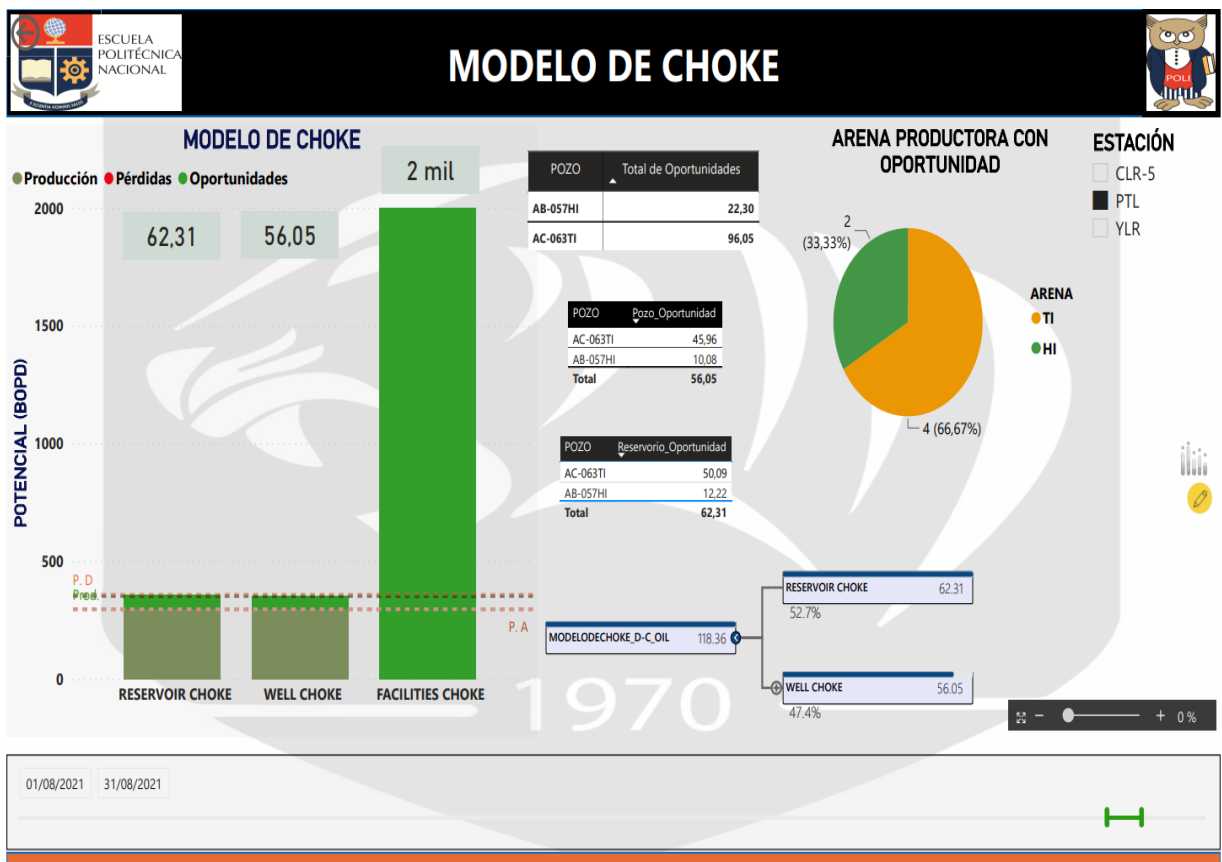


Figura 42. Modelo de choke generado en Power BI.
Elaborado por: Lesly Rivera

4. RESULTADOS Y DISCUSIÓN

A partir del código y la simulación con el perfil de Presión/Temperatura se obtienen los siguientes valores de caudales para los respectivos puntos como se evidencia en la Tabla 6.

Tabla 6. Valores obtenidos de los puntos nodales A, C y D con el código en Python.
Elaborado por: Lesly Rivera

| WELL | PWF (A) | QL (A) | QL (A) OUTLETP=Pwf | QOIL (A) | QOIL (A) OUTLETP=Pwf | QL (C) | QOIL (C) | QL(D) | QOIL(D) |
|-------------|---------|--------|-----------------------|----------|-------------------------|--------|----------|--------|---------|
| AB-057HI | 741.3 | 755.0 | 675.6 | 196.3 | 175.7 | 714.4 | 185.8 | 761.4 | 198.0 |
| AC-063TI | 838.5 | 1944.0 | 489.8 | 213.8 | 53.9 | 907.7 | 99.8 | 1363.0 | 149.9 |
| AC-127TI | 476.3 | 1334.0 | 1150.3 | 160.1 | 138.0 | | | | |
| AC-165TI | 654.2 | 780.0 | 516.2 | 109.2 | 72.3 | 586.5 | 82.1 | 716.2 | 100.3 |
| AC-170TI | 661.9 | 1446.0 | 1104.4 | 188.0 | 143.6 | | | 1598.1 | 207.8 |
| XA-009TI | 376.9 | 174.0 | 139.7 | 168.8 | 135.5 | | | | |
| XA-010HS1UI | 443.1 | 584.0 | 532.9 | 443.8 | 405.0 | | | 624.9 | 475.0 |
| XA-013HUI | 556.8 | 1099.0 | 938.1 | 1088.0 | 928.7 | 941.5 | 932.1 | 1048.2 | 1037.7 |
| XA-037UI | 291.2 | 228.0 | 218.4 | 145.9 | 139.7 | 218.6 | 139.9 | 272.5 | 174.4 |
| XB-012UI | 384.8 | 1365.0 | 1230.0 | 477.8 | 430.5 | 1252.1 | 438.2 | 1366.0 | 478.1 |
| XB-021UI | 340.1 | 406.0 | 395.7 | 40.6 | 39.6 | 401.0 | 40.1 | 502.2 | 50.2 |
| XB-033UI | 514.8 | 1060.0 | 752.5 | 551.2 | 391.3 | 889.0 | 462.3 | 1069.8 | 556.3 |
| XB-035UI | 291.3 | 145.0 | 133.3 | 140.7 | 129.3 | 136.9 | 132.8 | 213.6 | 207.2 |
| XC-043HUI | 1101.3 | 1720.0 | 1213.4 | 619.2 | 436.8 | | | | |
| YA-015UI | 371.0 | 340.0 | 316.1 | 122.4 | 113.8 | | | 479.3 | 172.6 |
| YD-023HUI | 692.1 | 2040.0 | 1421.1 | 1142.4 | 795.8 | | | 2136.4 | 1196.4 |
| Z-003UI | 415.2 | 162.0 | 136.4 | 157.1 | 132.3 | 146.5 | 142.1 | 307.8 | 298.5 |
| Z-004TI | 306.4 | 444.0 | 728.3 | 417.4 | 684.6 | | | 796.8 | 749.0 |

El tiempo que tardó en crearse el modelo y generar los puntos nodales A, C y D con codificación en Python en los 18 pozos fue de 2701.2956 segundos dando un aproximado de 45.216 minutos.

Se añade 3 minutos al tiempo obtenido de la corrida, necesarios para que el operador pueda ejecutar el código y revisar que toda la información este correcta antes de crear el modelo.

Podemos ver que se reduce significativamente el tiempo utilizado para generar el modelo de choke, si el modelo es creado desde cero de manera manual, todo el proceso invertido será aproximadamente de 50 minutos por pozo, si se genera para todos los

pozos que tiene el campo (18 pozos) se tendrá 900 minutos invertidos en crear los modelos en PIPESIM y a esto se agregaría unos 30 minutos más en generar el modelo de choke en Power BI, obteniendo un tiempo invertido de 930 minutos.

En la Tabla 7 se encuentra el tiempo que tarda en correr cada código para crear el modelo de pozo y se lo compara con el tiempo implementado al realizar el proceso de forma manual.

Tabla 7. Tiempo de corrida de cada código para generar el modelo de pozo y armado del modelo de choke
Elaborado por: Lesly Rivera

| CÓDIGO | TIMPO DE EJECUCIÓN AUTOMÁTICA POR POZO (min) | TIEMPO DE EJECUCIÓN MANUAL POR POZO (min) |
|-------------------------|---|--|
| Res_builder | 0.7494 | 118 |
| Skin Calibration | 0.6204 | 90 |
| Model_builder | 0.6421 | 360 |
| Calibration | 15.0322 | 450 |
| Nodal_ACD | 2.5969 | 415 |
| Total | 19.641 | 1433 |

Con la automatización del proceso se obtiene la actualización del modelo de choke, indispensable para realizar un seguimiento continuo de las oportunidades de optimización de la producción que se vayan presentando en el campo.

El modelo de choke para la estación CRL-5 se encuentra representado en la Figura 43 e indica las oportunidades de optimización en la producción a nivel de:

- Facilidades (barra FACILITIES CHOKE) con un valor de: 5000 BPPD.
- Pozo (barra WELL CHOKE) con un valor de: 96.27 BPPD.
- Reservorio (barra RESERVOIR CHOKE) con un valor de: 376.69 BPPD.

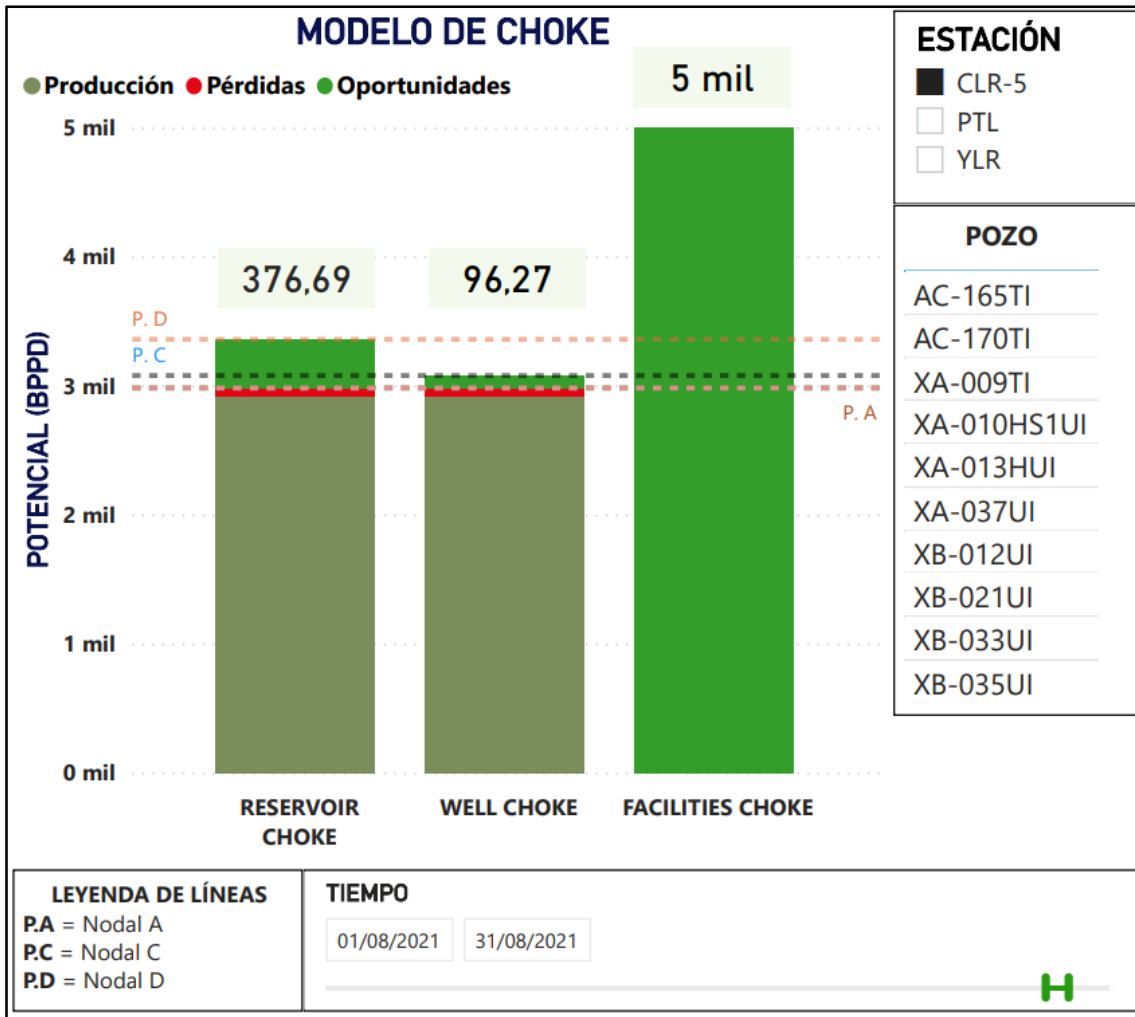


Figura 43. Modelo de choke para la estación CLR-5.
Elaborado por: Lesly Rivera

El mismo procedimiento que se realizó para la estación CLR-5 se aplica para la estación PTL que se encuentra en la Figura 44, las oportunidades de optimización en la producción a nivel de facilidades, pozo y reservorio se encuentran mapeadas en el mismo gráfico.

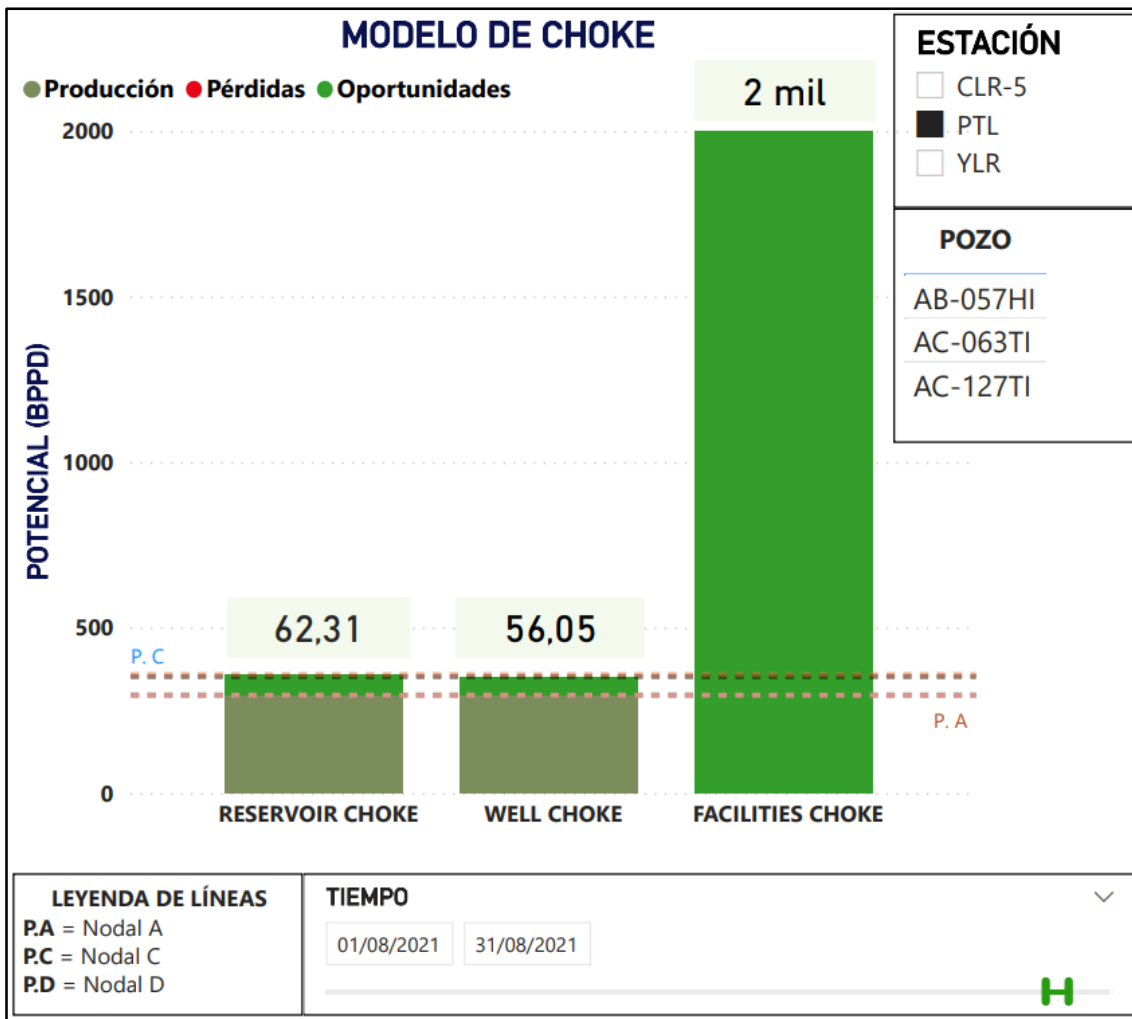


Figura 44. Modelo de choke para la estación PTL.
Elaborado por: Lesly Rivera

El modelo de choke de la estación YLR se lo puede observar en la Figura 45, el análisis será el mismo que se aplicó para la estación PTL, los datos de optimización en la producción se encuentran en el mismo gráfico.

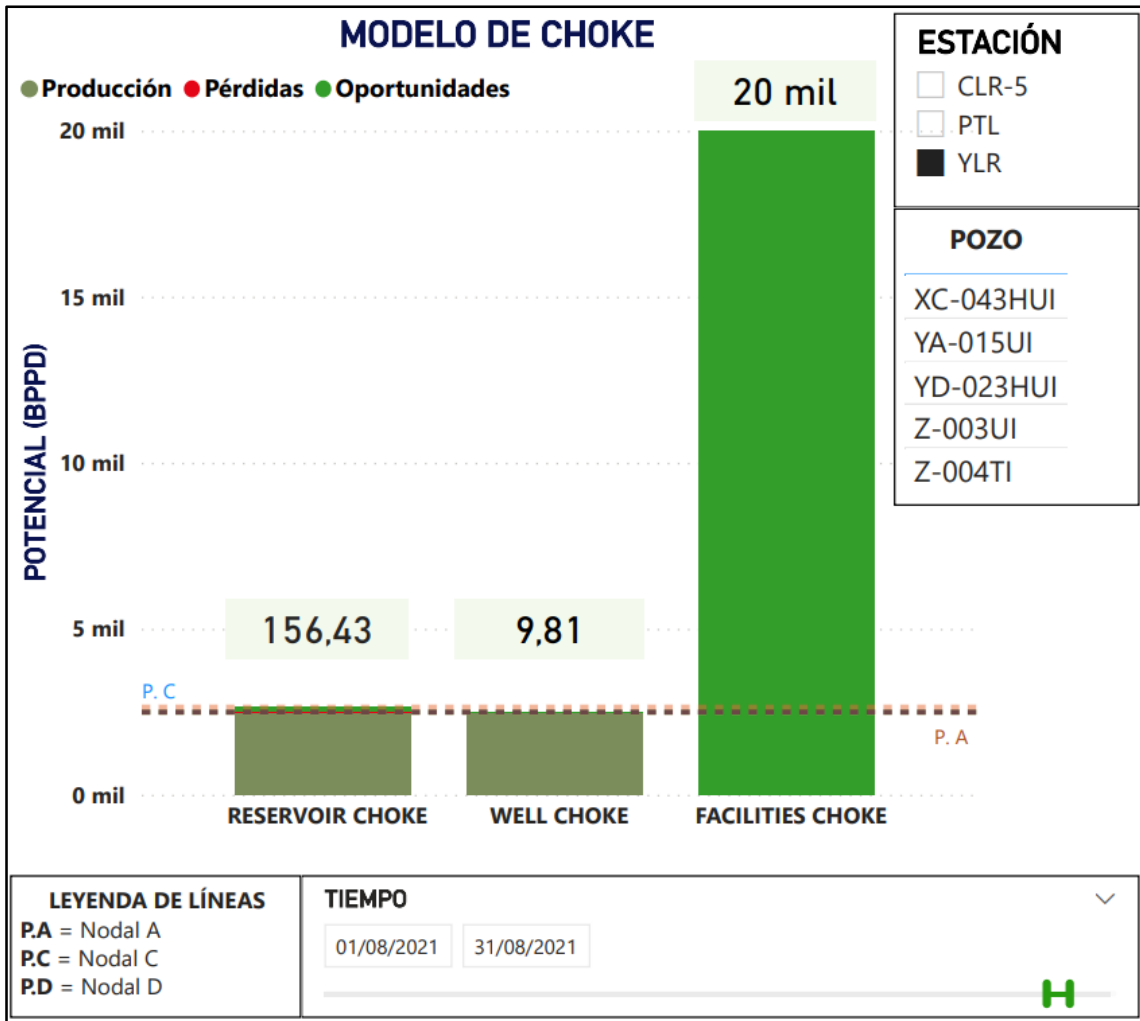


Figura 45. Modelo de choke para la estación YLR.
Elaborado por: Lesly Rivera

Los valores de la oportunidad de **optimización de la producción por pozo** se encuentran en las siguientes tablas:

En la Tabla 8 se encuentran mapeados los valores para la estación CLR-5:

Tabla 8. Valores de caudal de petróleo a partir de la oportunidad de pozo para la estación CLR-5.
Elaborado por: Lesly Rivera

| POZO | OPORTUNIDAD POR POZO (BPPD) |
|--------------|-----------------------------|
| XA-037UI | 0.18 |
| XB-021UI | 0.53 |
| XA-013HUI | 3.44 |
| XB-035UI | 3.52 |
| XB-012UI | 7.74 |
| AC-165TI | 9.85 |
| XB-033UI | 71.01 |
| TOTAL | 96.27 |

- La estación cuenta con el aporte de 10 pozos, sin embargo, se puede evidenciar que solo a 7 de ellos se les puede realizar una intervención para cambiar o aumentar frecuencia en la bomba y obtener un aporte significativo de crudo para la estación.

En la Tabla 9 se muestran los valores de oportunidad para la estación PTL:

Tabla 9. Valores de caudal de petróleo a partir de la oportunidad de pozo para la estación PTL.
Elaborado por: Lesly Rivera

| POZO | OPORTUNIDAD POR POZO (BPPD) |
|--------------|-----------------------------|
| AB-057HI | 10.08 |
| AC-063TI | 45.96 |
| TOTAL | 56.04 |

- Son 3 pozos los que aportan a la estación, sin embargo, solo a 2 de ellos se les puede realizar una intervención en el sistema BES para obtener un incremento en la producción de crudo.

Se muestran los valores de oportunidades para la estación YLR en la Tabla 10:

Tabla 10. Valores de caudal de petróleo a partir de la oportunidad de pozo para la estación YLR.
Elaborado por: Lesly Rivera

| POZO | OPORTUNIDAD POR POZO (BPPD) |
|--------------|-----------------------------|
| Z-003UI | 9.81 |
| TOTAL | 9.81 |

- La estación cuenta con el aporte de 3 pozos, pero solo a 1 se le puede realizar una intervención en la bomba BES para obtener un aporte significativo de crudo.

Los valores de la oportunidad de **optimización de la producción por reservorio** se encuentran en las siguientes tablas:

La Tabla 11 cuenta con valores de oportunidad para la estación CLR-5:

Tabla 11. Valores de caudal de petróleo a partir de la oportunidad de reservorio para la estación CLR-5.
Elaborado por: Lesly Rivera

| POZO | OPORTUNIDAD POR POZO (BPPD) |
|------------------|------------------------------------|
| XB-021UI | 10.13 |
| AB-057HI | 12.22 |
| AC-165TI | 18.16 |
| XA-037UI | 34.49 |
| XB-012UI | 39.88 |
| AC-063TI | 50.09 |
| XB-035UI | 74.42 |
| XB-033UI | 94.04 |
| XA-013HUI | 105.57 |
| Z-003UI | 156.43 |
| TOTAL | 595.43 |

- Se puede apreciar que todos los pozos de la estación son candidatos para realizar una intervención a la arena productora con el objetivo de eliminar el daño de formación, obteniendo una producción significativa de crudo.

Los valores de oportunidad para la estación PTL se encuentran mapeados en Tabla 12:

Tabla 12. Valores de caudal de petróleo a partir de la oportunidad de reservorio para la estación PTL.
Elaborado por: Lesly Rivera

| POZO | OPORTUNIDAD POR POZO (BPPD) |
|-----------------|------------------------------------|
| AB-057HI | 12.22 |
| AC-063TI | 50.09 |
| TOTAL | 62.31 |

- El daño de formación solo puede ser removido en 2 pozos de la estación, los mismos que son: AB-057HI y AC-063TI.

La Tabla 13 contiene los datos de la oportunidad de producción de crudo en la estación YLR:

Tabla 13. Valores de caudal de petróleo a partir de la oportunidad de reservorio para la estación YLR.
Elaborado por: Lesly Rivera

| POZO | OPORTUNIDAD POR POZO (BPPD) |
|----------------|------------------------------------|
| Z-003UI | 156.43 |
| TOTAL | 156.43 |

- Se puede observar que la intervención para eliminar el daño de formación solo se puede realizar en un pozo, obteniendo un aporte de crudo significativo para la estación.

5. CONCLUSIONES Y RECOMENDACIONES

A partir de la automatización de los procesos para generar el modelo de choke mediante codificación Python se concluye que:

EN EL CÓDIGO

- La automatización de procesos permite ahorrar tiempo significativo en los operadores, la probabilidad de errores en el mapeo de datos es mínima existiendo confiabilidad en los resultados obtenidos.
- La optimización del tiempo para generar los diagramas de choke tanto para pozo, reservorio y facilidad se da en un 90%. Sustituyendo en un 100% la carga manual de datos para las corridas de simulación en el software PIPESIM.
- El código Python al ser un lenguaje de fácil uso y compatible con la mayoría de los programas existentes en la industria del petróleo y gas, permite crear un nexo de codificación con el software PIPESIM para realizar simulaciones en pozos desde cero, permitiendo modificar y actualizar los modelos existentes si fuese el caso.
- Se obtienen datos exactos de los puntos nodales A, C y D; permitiendo mapear las oportunidades que se presentan en pozo y reservorio.

EN LOS RESULTADOS

- Se evidencia la presencia de pozos que pueden ser optimizados con un trabajo de Workover; por ejemplo, se puede realizar intervención a la bomba BES o se puede remover el daño de formación.
- La optimización de la producción solo se da si existe la oportunidad de reducir la P_{wf} y si se tiene daños de formación que aún no han sido estimulados, caso contrario la optimización por parte del pozo estará realizada en un 100%; en este caso se deberá evaluar otros métodos de aporte para la producción del campo.
- El total de oportunidades para producir en la estación CLR-5 es de 472.96 BPPD, siendo de esta producción un 79.6% (376.69 BPPD) las oportunidades

desbloqueadas en reservorio y el 20.4% (96.27 BPPD) siendo oportunidades desbloqueadas en pozo.

- El total de oportunidades para producir en la estación PTL es de 118.36 BPPD, siendo de esta producción un 52.6% (62.31 BPPD) las oportunidades desbloqueadas en reservorio y el 47.4% (56.05 BPPD) siendo oportunidades desbloqueadas en pozo.
- El total de oportunidades para producir en la estación YLR es de 166.24 BPPD, siendo de esta producción un 94.1% (156.43 BPPD) las oportunidades desbloqueadas en reservorio y el 5.9% (9.81 BPPD) siendo oportunidades desbloqueadas en pozo.

En base a los desafíos que se presentaron durante el trabajo y esperando que en un futuro se obtengan mejores resultados para las oportunidades de producción en el campo, se recomienda:

- Obtener valores de reservorio más exactos, la permeabilidad y espesor de formación juegan un rol fundamental al momento de realizar la sensibilidad del daño de formación, si se obtienen datos más precisos se puede desbloquear de manera más eficiente las oportunidades de producción en el campo.
- Generar una metodología más eficiente para la carga de permeabilidades relativas a los modelos en PIPESIM (.pips).
- Migrar el código a las versiones más recientes del software PIPESIM, puesto que, las nuevas versiones poseen una interfaz que permite ser automatizada de manera completa con codificación Python.
- Modificar el código para optimizar el tiempo de corrida evitando la impresión de valores en el archivo Excel y solo imprimir estos valores en la interfaz de Canopy; de esta manera se reduce el código final a la mitad de su extensión, obteniendo los puntos C y D en una misma iteración.

6. REFERENCIAS BIBLIOGRÁFICAS

- Carpentries, T. (2021). *Análisis y visualización de datos usando Python*. Obtenido de <https://datacarpentry.org/python-ecology-lesson-es/02-starting-with-data/index.html>
- DelftStack. (2020). *SciPy scipy.interpolate.interp1d Función*. Obtenido de <https://www.delftstack.com/es/api/scipy/scipy-scipy.interpolate.interp1d-method/>
- Islas, C. (1991). *MANUAL DE ESTIMULACIÓN MATRICIAL DE POZOS PETROLEROS*. Mexico: Ediciones Gráficas "Z", S.A.
- Laura, M. (2021). *Librerías Python: ¿Qué son y para qué sirven cada una de ellas?* Obtenido de <https://es.bitdegree.org/tutoriales/librerias-python/>
- Lucidchart. (2020). *¿Qué es un diagrama de flujo?* Obtenido de <https://www.lucidchart.com/pages/es/que-es-un-diagrama-de-flujo>
- Machuca, F. (20 de 5 de 2021). *¿Qué es Python? El lenguaje de programación más popular para aprender en 2021*. Obtenido de crehana: <https://www.crehana.com/blog/desarrollo-web/que-es-python/>
- Madrid, M. (2019). *Curvas de Permeabilidad Relativa Parte I: Introducción*. Obtenido de <https://www.portaldelpetroleo.com/2012/12/curvas-de-permeabilidad-relativa-parte.html>
- Mochales, M. (28 de 09 de 2020). *Python, el lenguaje de programación más popular de 2021*. Obtenido de profile: <https://profile.es/blog/python/>
- Odin, A. (2020). *xlwings: Usa herramientas de análisis de Python en Excel*. Obtenido de <https://excelcute.com/xlwings-introduccion-excel/>
- Ortega, G. (2016). *COMPLETACIÓN DE POZOS*. Quito.
- Palen, W., & Goodwin, A. (1996). *Increasing Production in a Mature Basin: "The Choke Model"*. Milan, Italy 22-24: Society of Petroleum Engineers. Inc.
- Python. (2020). *PYTHON*. Obtenido de <https://lenguajesdeprogramacion.net/python/>
- Python Software Foundation. (2022). *collections — Container datatype*, Versión 2. Obtenido de Documentation 3.10.2: <https://docs.python.org/3/library/collections.html>

- Quintagroup. (2020). *CANOPY - ENTORNO CIENTÍFICO Y ANALÍTICO DE PYTHON*.
Obtenido de <https://quintagroup.com/cms/python/canopy>
- Robles, M. (2021). *¿Para qué sirve la Programación?* Obtenido de
<https://blogs.unitec.mx/vida-universitaria/para-que-sirve-la-programacion/>
- Schlumberger. (2004). *Introducción al Equipo de Perforación*. Obtenido de ACADEMIA:
https://www.academia.edu/6455135/Schlumberger_Introduccion_al_equipo_de_perforacion
- Schlumberger. (2009). *PIPESIM*. Obtenido de LA COMUNIDAD PETROLERA:
<https://lacomunidadpetrolera.com/2009/01/pipesim-3.html>
- Schlumberger. (2014). *PIPESIM - User Guide*. Houston, USA.
- Schlumberger. (2022). *Permeabilidad relativa*. Obtenido de Oilfield Glossary:
https://glossary.oilfield.slb.com/es/terms/r/relative_permeability
- Schlumberger. (2022). *Tubería de revestimiento*. Recuperado el 20 de 2 de 2022, de
Oilfield Glossary: <https://glossary.oilfield.slb.com/es/terms/c/casing>
- Schlumberger, S. (2008). *Simulador de Flujo Multifásico de Estado Estable PIPESIM*.
Obtenido de <https://www.software.slb.com/products/pipesim>
- SOURCEFORGE. (2021). *PythonToolKit (PTK)*. Obtenido de
<https://sourceforge.net/projects/pythontoolkit/>
- SPE. (2016). *Production forecasting system constraints*. Obtenido de
https://petrowiki.spe.org/Production_forecasting_system_constraints
- Spencer, J. A., & Morgan, D. T. (1998). *Application of Forecasting and Uncertainty Methods to Production*. New Orleans: Society of Petroleum Engineers. Inc.
- Steel, C. (2018). *CASING Y TUBING*. Obtenido de
<https://www.coltubossteel.com.co/casing.html>
- Vargas, E. (2008). *Método de Levantamiento Artificial por Bombeo Electrosurgible (BES)*. Obtenido de <https://www.monografias.com/trabajos63/levantamiento-artificial-bombeo/levantamiento-artificial-bombeo2.shtml>